

## 2

# Вперед динамика автомобиля

В этой главе рассматривается прямолинейное движение идеального жесткого транспортного средства. Мы игнорируем трение в воздухе и изучаем изменение нагрузки под шинами, чтобы определить пределы ускорения, уклон дороги и кинематические возможности автомобиля.

### 2.1 Припаркованный автомобиль на ровной дороге

Когда автомобиль припаркован на ровном тротуаре, нормальная сила,  $F_z$ , под каждым передних и задних колес,  $F$ ,  $F$ , находятся

$$F_{z1} = m \frac{1}{2} \frac{a_2}{l} \quad (2.1)$$

$$F_{z2} = m \frac{1}{2} \frac{a_1}{l} \quad (2.2)$$

куда,  $a_1$  расстояние до центра масс автомобиля,  $C$ , от переднего моста,  $a_2$  это расстояние  $C$  от задней оси, и  $l$  это колесная база.

$$l = a_1 + a_2 \quad (2.3)$$

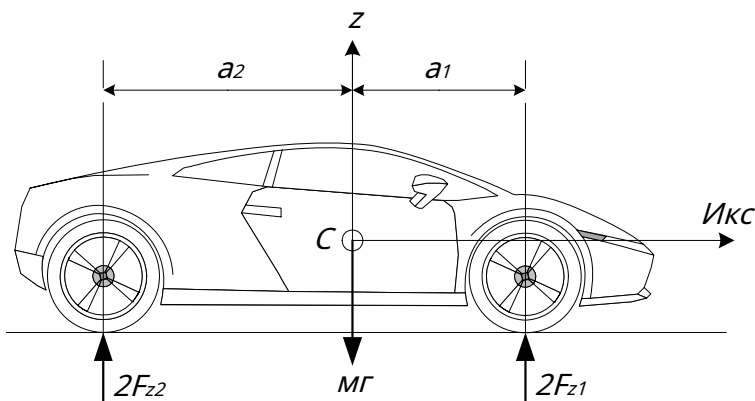


РИСУНОК 2.1. Припаркованный автомобиль на тротуаре.

Доказательство. Рассмотрим продольно-симметричный автомобиль, показанный на рисунке 2.1. Его можно смоделировать как двухосное транспортное средство. Симметричное двухосное транспортное средство эквивалентно жесткой балке с двумя опорами. Вертикальную силу под передними и задними колесами можно определить с помощью плоского статического равновесия. уравнения.

$$\begin{array}{l} \text{Икс} \\ F_z \text{ знак равно } 0 \end{array} \quad (2.4)$$

$$\begin{array}{l} \text{Икс} \\ M_y \text{ знак равно } 0 \end{array} \quad (2.5)$$

Применяя уравнения равновесия

$$2F_{z1} + 2F_{z2} - mg = 0 - 2F_{z1}a_1 \quad (2,6)$$

$$+ 2F_{z2}a_2 \text{ знак равно } 0 \quad (2,7)$$

обеспечивают силы реакции под передними и задними шинами.

$$\begin{array}{l} F_{z1} \text{ знак равно } \frac{1}{2} mg \frac{a_2}{a_1 + a_2} \\ \text{знак равно } \frac{1}{2} mg \frac{a_2}{l} \end{array} \quad (2,8)$$

$$\begin{array}{l} F_{z2} \text{ знак равно } \frac{1}{2} mg \frac{a_1}{a_1 + a_2} \\ \text{знак равно } \frac{1}{2} mg \frac{a_1}{l} \end{array} \quad (2,9)$$

■

Пример 39 Силы реакции под колесами.

В машине есть 890 кг масса. Его центр масс, С, является 78 см за фронтом ось колеса, и он имеет 235 см колесная база.

$$a_1 \text{ знак равно } 0,78 \text{ м} \quad (2.10)$$

$$l = 2,35 \text{ м} \quad (2.11)$$

$$m = 890 \text{ кг} \quad (2.12)$$

Сила под каждым передним колесом

$$\begin{array}{l} F_{z1} \text{ знак равно } \frac{1}{2} mg \frac{a_2}{l} \\ = \frac{1}{2} \times 890 \times 9,81 \times \frac{2,35 - 0,78}{2,35} = 2916,5 \text{ Н} \end{array} \quad (2.13)$$

а сила под каждым задним колесом равна

$$\begin{array}{l} F_{z2} \text{ знак равно } \frac{1}{2} mg \frac{a_1}{l} \\ = \frac{1}{2} \times 890 \times 9,81 \times \frac{0,78}{2,35} = 1449 \text{ Н.} \end{array} \quad (2.14)$$

Пример 40 Положение центра масс.

Уравнения (2.1) и (2.2) можно переписать, чтобы вычислить положение центра масс.

$$a_1 \text{ знак равно } \frac{2l}{Mg} F_{z2} \quad (2.15)$$

$$a_2 \text{ знак равно } \frac{2l}{Mg} F_{z1} \quad (2.16)$$

Силы реакции под передними и задними колесами горизонтально припаркованного автомобиля. автомобиль, с колесной базой  $l = 2.34\text{м}$ , находятся:

$$F_{z1} \text{ знак равно } 2000\text{N} \quad (2.17)$$

$$F_{z2} \text{ знак равно } 1800\text{N} \quad (2.18)$$

Следовательно, продольное положение центра масс автомобиля находится на

$$a_1 \text{ знак равно } \frac{2l}{Mg} F_{z2} = 2 \frac{2.34}{2 (2000 + 1800)} \times 1800 = 1,1084 \text{ м} \quad (2.19)$$

$$a_2 \text{ знак равно } \frac{2l}{Mg} F_{z1} = 2 \frac{2.34}{2 (2000 + 1800)} \times 2000 = 1,2316 \text{ м.} \quad (2.20)$$

Пример 41 Определение продольного центра масс.

Положение центра масс  $C$  можно определить экспериментально. Для определения продольного положения  $C$ , мы должны измерить общий вес автомобиля, а также силу под передними или задними колесами. Рисунок 2.2 иллюстрирует ситуацию, в которой мы измеряем силу под передними колесами.

Предполагая, что сила под передними колесами  $F_{z1}$  равна  $2F$ , позиция центр масс рассчитывается по условиям статического равновесия

$$\sum M_{\text{Икс}} = 0 \quad (2.21)$$

$$\sum F_{\text{Икс}} = 0 \quad (2.22)$$

Применяя уравнения равновесия

$$2F_{z1} + 2F_{z2} - Mg = 0 \quad (2.23)$$

$$+ 2F_{z2}a_2 \text{ знак равно } 0 \quad (2.24)$$

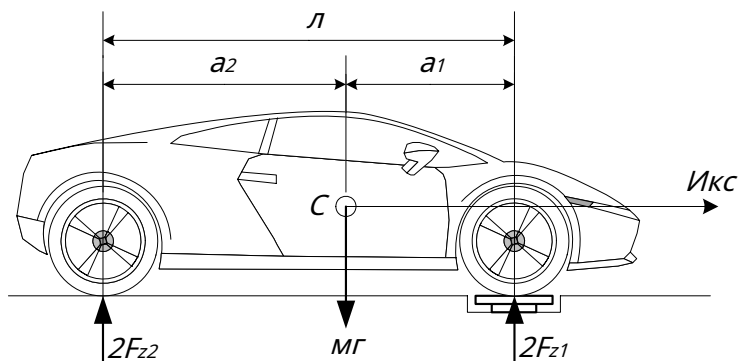


РИСУНОК 2.2. Измерение силы под задними колесами.

обеспечить продольное положение  $C$  и силы реакции под тылом колеса.

$$\frac{2L}{a_1} \frac{F_{z2}}{Mg} = 1 \quad (2.25)$$

$$F_{z2} = \frac{1}{2} (Mg - 2F_{z1}) \quad (2.26)$$

#### Пример 42 Определение бокового центра масс.

Большинство автомобилей примерно симметрично относительно продольной центральной плоскости, проходящей через середину колес, и, следовательно, поперечное положение центра масс  $C$  находится близко к центральной плоскости. Однако боковое положение  $C$  можно рассчитать, взвесив одну сторону автомобиля.

#### Пример 43 Определение центра масс по высоте.

Чтобы определить высоту центра масс  $C$ , мы должны измерить силу под передними или задними колесами, когда автомобиль находится на наклонной поверхности. Экспериментально мы используем устройство, подобное изображенному на рисунке 2.3. Автомобиль припаркован на ровной поверхности так, чтобы передние колеса находились на подъемнике. Передние колеса будут заблокированы и закреплены на домкрате, а задние колеса будут свободно вращаться. Домкрат поднимает передние колеса, и требуемая вертикальная сила, прикладываемая домкратами, измеряется датчиком нагрузки.

Предположим, что у нас есть продольное положение  $C$  домкрат поднимается так, чтобы автомобиль составлял угол  $\varphi$  с горизонтальной плоскостью. Угол наклона  $\varphi$  измеряется с помощью уровнемеров. Предполагая, что сила под передние колеса  $2F_{z1}$ , высоту центра масс можно рассчитать по формуле

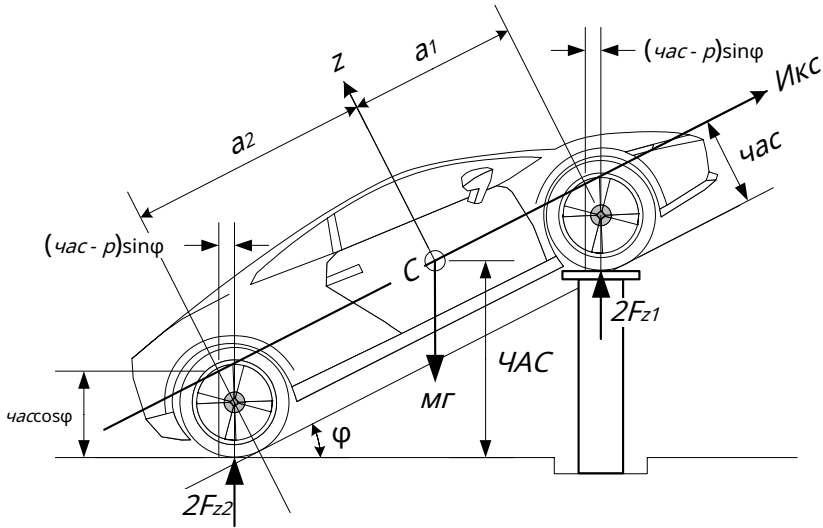


РИСУНОК 2.3. Измерение силы под колесами для определения высоты груза центр.

условия статического равновесия

$$\begin{aligned} & \text{Икс} \\ & \text{Fz знак равно 0} \end{aligned} \quad (2.27)$$

$$\begin{aligned} & \text{Икс} \\ & \text{Му знак равно 0.} \end{aligned} \quad (2.28)$$

Применяя уравнения равновесия

$$2F_z + 2F_z - МГ \quad \text{знак равно} \quad 0 \quad (2.29)$$

$$\begin{aligned} & -2F_z (a_1 \cos \varphi - (ч - R) \sin \varphi) \\ & + 2F_{z2} (a_2 \cos \varphi + (ч - R) \sin \varphi) \quad \text{знак равно} \quad 0 \end{aligned} \quad (2.30)$$

обеспечивает вертикальное положение С и силы реакции под тылом колеса.

$$\frac{1}{2} \frac{F_{z2} \text{ знак равно } МГ - F_{z1}}{2} \quad (2.31)$$

$$\begin{aligned} h = & \frac{F_{z1} (R \sin \varphi + a_1 \cos \varphi) + F_{z2} (p \sin \varphi - a_2 \cos \varphi)}{МГ \sin \varphi} \\ & \text{знак равно } R + \frac{a_1 F_{z1} - a_2 F_{z2}}{МГ} \\ & \mu \frac{F_{z1}}{МГ} \quad \text{детская кроватка } \varphi \end{aligned} \quad (2.32)$$

Автомобиль со следующими характеристиками

$$\begin{aligned}
 M & \text{ знак равно } 2000 \text{ кг} \\
 2F_{z1} & \text{ знак равно } 18000 \text{ N} \\
 \varphi & \text{ знак равно } 30 \text{ град.} \approx 0,5236 \text{ рад} \\
 a_1 & \text{ знак равно } 110 \text{ см} \\
 l & \text{ знак равно } 230 \text{ см} \\
 p & \text{ знак равно } 30 \text{ см}
 \end{aligned} \tag{2.33}$$

имеет С на высоте час

$$h = 34 \text{ см} \tag{2.34}$$

В этом расчете есть три допущения: 1– предполагается, что шины представляют собой жесткие диски с радиусом R, 2- этсдвиг жидкости, такой как топливо, охлаждающая жидкость и масло, игнорируются, и 3– прогиб подвески принимается равным нулю.

Прогиб подвески оказывает максимальное влияние на погрешность определения высоты. Чтобы исключить прогиб подвески, мы должны заблокировать подвеску, обычно путем замены амортизаторов на жесткие стержни, чтобы автомобиль оставался на высоте дорожного просвета.

Пример 44 Разные шины спереди и сзади.

В зависимости от области применения иногда необходимо использовать разные типы шин и колес для передней и задней оси. Когда продольное положение С для симметричного транспортного средства можно найти высоту С путем измерения нагрузки только на одну ось. В качестве примера рассмотрим мотоцикл на рис. 2.4. У него разные передние и задние шины.

Предположим, что нагрузка находится под задним колесом мотоцикла.  $F_z$  известен. Высотачас из С можно найти, воспользовавшись моментом сил вокруг отпечаток передней шины.

$$h = \frac{F_z(a_1 + a_2)}{mg} \cdot \mu + \frac{R_1}{a_1 + a_2} + \frac{R_2}{2} \tag{2.35}$$

а потому что грех.

Пример 45 Статически неопределенный.

Транспортное средство с более чем тремя колесами статически неопределимо. Чтобы определить вертикальную силу под каждой шиной, нам нужно знать механические свойства и состояние шин, например величину прогиба в центре шины и ее вертикальную жесткость.

## 2.2 Припаркованный автомобиль на наклонной дороге

Когда автомобиль припаркован на наклонном тротуаре, как показано на рисунке 2.5, нормальная сила  $F_z$ , под каждым из передних и задних колес,  $F_z$ ,  $F_z$ , является;

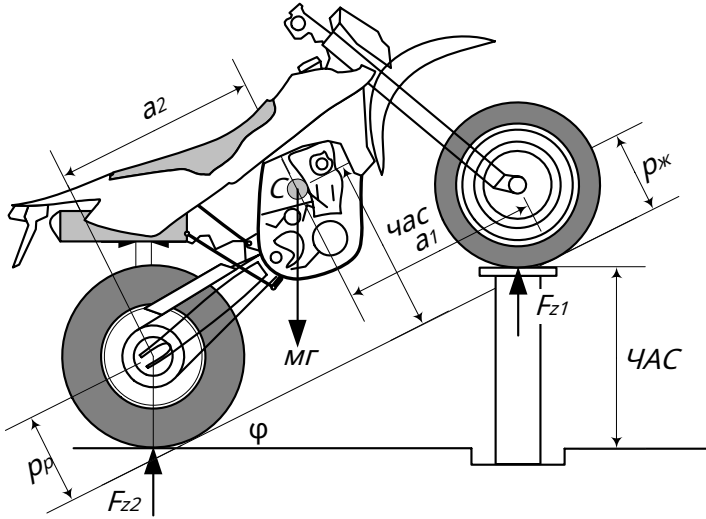


РИСУНОК 2.4. Мотоцикл с разными передними и задними шинами.

$$F_{z1} = M g \frac{1}{2} \cos \varphi + M g \sin \varphi \frac{1}{2} \frac{\text{ЧАС}}{l} \quad (2.36)$$

$$F_{z2} \text{ знак равно } M g \frac{1}{2} \frac{a_1}{l} \cos \varphi - M g \sin \varphi \frac{1}{2} \frac{\text{ЧАС}}{l} \quad (2.37)$$

$$l = a_1 + a_2$$

где  $\varphi$  - угол дороги с горизонтом. Горизонт перпендикулярен гравитационному ускорению.грамм.

Доказательство. Рассмотрим автомобиль, показанный на рисунке 2.5. Предположим, что усилия стояночного тормоза действуют только на задние колеса. Это означает, что передние шины свободно вращаться. Применение плоских уравнений статического равновесия

$$\begin{array}{l} \text{Икс} \\ F_{\text{икс}} \text{ знак равно } 0 \end{array} \quad (2.38)$$

$$\begin{array}{l} \text{Икс} \\ F_z \text{ знак равно } 0 \end{array} \quad (2.39)$$

$$\begin{array}{l} \text{Икс} \\ M_y \text{ знак равно } 0 \end{array} \quad (2.40)$$

показывает, что

$$2F_{\text{икс}2} - M g \sin \varphi = 0 \quad (2.41)$$

$$F_{z1} + 2F_{z2} - M g \cos \varphi = 0 \quad (2.42)$$

$$a_1 + 2F_{z2}a_2 - 2F_{\text{икс}2}h = 0. \quad (2.43)$$

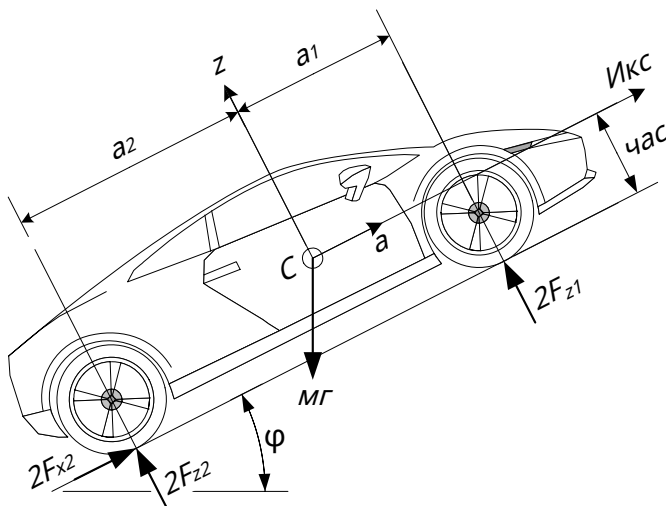


РИСУНОК 2.5. Припаркованный автомобиль на наклонном тротуаре.

Эти уравнения обеспечивают тормозное усилие и силы реакции под передней частью и задние шины.

$$F_{z1} = MГ \frac{1}{2} \frac{a_2}{l} \cos \varphi - MГ \frac{1}{2} \frac{a \sin \varphi}{l} \quad (2.44)$$

$$F_{z2} = MГ \frac{1}{2} \frac{a}{l} \cos \varphi + MГ \frac{1}{2} \frac{a_2 \sin \varphi}{l} \quad (2.45)$$

$$F_{\text{Икс2}} = \text{знак} \frac{1}{2} MГ \sin \varphi \quad (2.46)$$

■

#### Пример 46 Увеличение угла наклона.

Когда  $\varphi = 0$ , Уравнения (2.36) и (2.37) сводятся к (2.1) и (2.2). При увеличении угла наклона нормальная сила под передними шинами припаркованного автомобиля уменьшается, а нормальная сила и тормозная сила под задними шинами увеличиваются. Предел для увеличения  $\varphi$  - это когда весовой вектор  $MГ$  проходит через точку контакта заднего колеса с землей. Такой угол называется углом наклона.

#### Пример 47 Максимальный угол наклона.

Требуемая тормозная сила  $F_{\text{Икс2}}$  увеличивается на угол наклона. Быть-причина  $F_{\text{Икс2}}$  равна силе трения между шиной и дорожным покрытием, ее максимум зависит от состояния шины и дорожного покрытия. Есть конкретный угол  $\varphi_m$  при котором тормозная сила  $F_{\text{Икс2}}$  насыщается и больше не может увеличиваться. При этом максимальном угле тормозная сила пропорциональна нормальной силе  $F_{z2}$

$$F_{\text{Икс2}} = \mu_{\text{Икс2}} F_{z2} \quad (2.47)$$



где коэффициент  $\mu$  - Икс-коэффициент трения направления для задней части колесо. При  $\varphi = \varphi_m$ , уравнения равновесия сведутся к

$$2\mu_{\text{ИКС2}} F_{z2} - mg \sin \varphi_m \text{ знак равно } 0 \quad (2.48)$$

$$2F_{z1} + 2F_{z2} - mg \cos \varphi_m \text{ знак равно } 0 \quad (2.49)$$

$$2F_{z1} a_1 - 2F_{z2} a_2 + 2\mu_{\text{ИКС2}} F_{z2} h = 0. \quad (2.50)$$

Эти уравнения обеспечивают

$$F_{z1} = mg \frac{1}{2} \frac{a_1}{l} \cos \varphi_m - \frac{1}{2} mg \frac{\text{час}}{l} \sin \varphi_m \quad (2.51)$$

$$F_{z2} = mg \frac{1}{2} \frac{a_2}{l} \cos \varphi_m + \frac{1}{2} mg \frac{\text{час}}{l} \sin \varphi_m \quad (2.52)$$

$$\frac{a_1 \mu_{\text{ИКС2}}}{l - \mu_{\text{ИКС2}} \text{час}} \quad (2.53)$$

тапфы знак равно

показывающий, что существует связь между коэффициентом трения  $\mu_{\text{ИКС}}$ , максимальный наклон  $\varphi_m$ , а геометрическое положение центра масс С.

Угол  $\varphi_m$  увеличивается за счет уменьшения  $\text{час}$

Для автомобиля имеющего технические характеристики

$$\begin{aligned} \mu_{\text{ИКС2}} & \text{ знак равно } 1 \\ a_1 & \text{ знак равно } 110 \text{ см} \\ l & \text{ знак равно } 230 \text{ см} \\ \text{час} & \text{ знак равно } 35 \text{ см} \end{aligned} \quad (2.54)$$

угол наклона

$$\varphi_m \approx 0,514 \text{ рад} \approx 29,43 \text{ град.} \quad (2.55)$$

Пример 48 Торможение передних колес.

Когда передние колеса - единственные тормозные колеса  $F_{\text{ИКС1}} = 0$ , также  $F_{\text{ИКС2}} = 0$

В этом случае уравнения равновесия будут иметь вид

$$2F_{\text{ИКС1}} - mg \sin \varphi = 0 \quad (2.56)$$

$$F_{z1} + F_{z2} - mg \cos \varphi = 0 \quad (2.57)$$

$$-2F_{z1} a_1 + 2F_{z2} a_2 - 2F_{\text{ИКС1}} h = 0. \quad (2.58)$$

Эти уравнения обеспечивают тормозное усилие и силы реакции под передней частью и задние шины.

$$F_{z1} \text{ знак равно } mg \frac{1}{2} \frac{a_1}{l} \cos \varphi - \frac{1}{2} mg \frac{\text{час}}{l} \sin \varphi \quad (2.59)$$

$$F_{z2} = mg \frac{1}{2} \frac{a_2}{l} \cos \varphi + \frac{1}{2} mg \frac{\text{час}}{l} \sin \varphi \quad (2.60)$$

$$F_{\text{ИКС1}} \text{ знак равно } mg \frac{1}{2} \sin \varphi \quad (2.61)$$

Под конечным углом  $\varphi = \varphi_M$

$$F_{икс1} = \mu_{икс} F_{z1} \quad (2,62)$$

а также

$$2 \mu_{икс} F_z - mg \sin \varphi_M \text{ знак} \quad (2,63)$$

$$\text{равно } 0 \quad 2F_{z2} - 2F - mg \cos \varphi_M = 0 \quad (2,64)$$

$$2F_a - 2F_a + 2 \mu_{икс} F_z h = 0. \quad (2,65)$$

Эти уравнения обеспечивают

$$F_{z1} \text{ знак равно } mg \frac{1}{2} \frac{a_2}{l} \cos \varphi_M - mg \frac{1}{2} \sin \varphi_M \quad (2,66)$$

$$F_{z2} = mg \frac{1}{2} \frac{a_1}{l} \cos \varphi_M + mg \frac{1}{2} \sin \varphi_M \quad (2,67)$$

$$\tan \varphi_M = \frac{a_2 \mu_{икс1}}{l - \mu_{икс} \text{ час}} \quad (2,68)$$

Назовем конечный угол для тормоза переднего колеса в уравнении (2.53)

как  $\varphi_{ж}$ , а конечный угол для тормоза заднего колеса в уравнении (2.68)

как  $\varphi_{р}$ . Сравнивая  $\varphi_{ж}$  и  $\varphi_{р}$  показывает, что

$$\frac{\varphi_{ж} \text{ знак равно } \frac{a_1 \mu_{икс1}}{2} \frac{l - \mu_{икс} \text{ час}}{l - \mu_{икс} \text{ час}}}{\varphi_{р} = \frac{a_2 \mu_{икс1}}{l - \mu_{икс} \text{ час}}} \quad (2,69)$$

Мы можем предположить, что передние и задние шины одинаковые, и поэтому

$$\mu_{икс1} = \mu_{икс2} \quad (2,70)$$

следовательно,

$$\frac{\varphi_{ж} \text{ знак равно } \frac{a_1}{a_2}}{\varphi_{р}} \quad (2,71)$$

Следовательно, если  $a_1 < a_2$  тогда  $\varphi_{ж} < \varphi_{р}$  и поэтому задний тормоз больше эффективнее переднего тормоза при парковке на подъеме до тех пор, пока  $\varphi_{р}$  меньше, чем угол наклона,  $\varphi_{р} < \arctan \frac{a_2}{l}$ . При угле наклона весовой вектор проходит через точку контакта заднего колеса с землей.

Аналогичным образом мы можем сделать вывод, что при парковке на спуске передний тормоз более эффективен, чем задний.

Пример 49 Торможение четырех колес.

Рассмотрим автомобиль с четырехколесным тормозом, припаркованный на холме, как показано на рисунке 2.6. В этих условиях будет две тормозные силы.  $F_{икс1}$  на передние колеса и две тормозные силы  $F_{икс}$  на задние колеса.

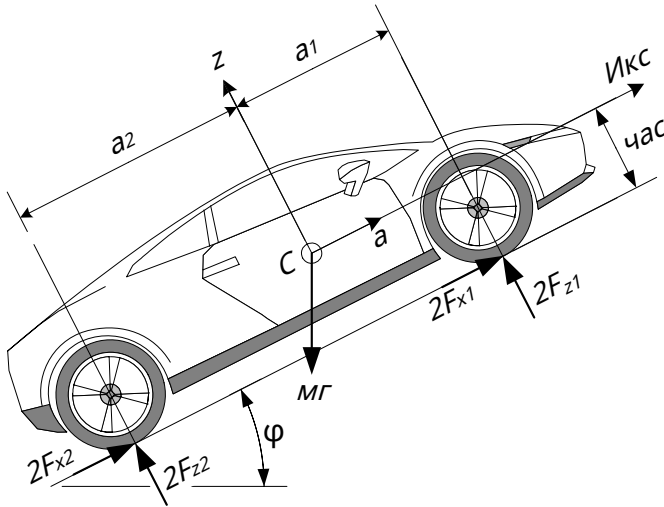


РИСУНОК 2.6. Автомобиль с четырехколесным тормозом, припаркованный в гору.

Уравнения равновесия для этого вагона следующие:

$$2F_{икс} + 2F_{икс} - m g \sin \varphi = 0 \quad (2,72)$$

$$F_{z1} + 2F_{z2} - m g \cos \varphi = 0 \quad (2,73)$$

$$-2F_{x1} + 2F_{x2} - (2F_{икс} + 2F_{икс})h = 0. \quad (2,74)$$

Эти уравнения обеспечивают тормозное усилие и силы реакции под передней частью и задние шины.

$$F_{z1} \text{ знак равно } \frac{1}{2} \frac{a}{l} m g \cos \varphi + \frac{1}{2} m g \sin \varphi \quad (2,75)$$

$$F_{z2} = m g \frac{1}{2} \cos \varphi + m g \sin \varphi \quad (2,76)$$

$$F_{икс1} + F_{икс2} \text{ знак равно } \frac{1}{2} m g \sin \varphi \quad (2,77)$$

Под конечным углом  $\varphi = \varphi_m$ , все колеса начнут скользить одновременно и поэтому,

$$F_{икс1} \text{ знак равно } F_{икс2} = F_{z1} \quad (2,78)$$

$$F_{икс2} \text{ знак равно } F_{z2} \quad (2,79)$$

Уравнения равновесия показывают, что

$$2 m g \sin \varphi + 2 m g \sin \varphi - m g \sin \varphi = 0 \quad (2,80)$$

$$2F_{z1} + 2F_{z2} - m g \cos \varphi_m \text{ знак равно } 0 \quad (2,81)$$

$$-2F_{z1}a_1 + 2F_{z2}a_2 - 2 m g F_{z1} + 2 m g F_{z2}h = 0. \quad (2,82)$$

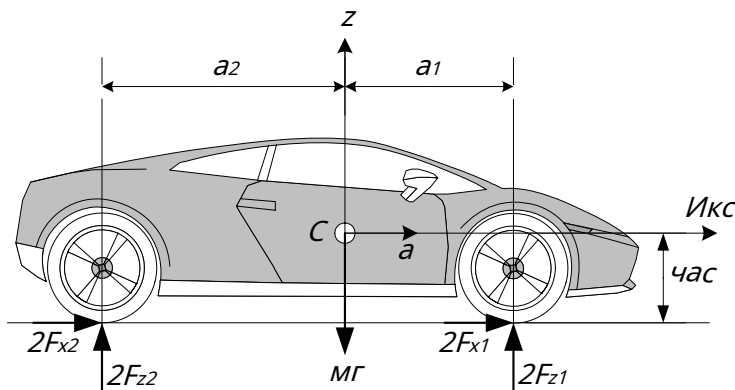


РИСУНОК 2.7. Ускоряющаяся машина на ровном асфальте.

Предполагая

$$\mu_{икд} = \mu_{икс} \quad (2,83)$$

обеспечит

$$F_{z1} = Mg \frac{1}{2} \frac{a_2}{L} \cos \varphi_m - M \frac{1}{2} \frac{a}{L} \sin \varphi_m \quad (2,84)$$

$$F_{z2} = Mg \frac{1}{2} \frac{a_1}{L} \cos \varphi_m + M \frac{1}{2} \frac{a}{L} \sin \varphi_m \quad (2,85)$$

$$\tan \varphi_m = \mu_{икс}. \quad (2,86)$$

## 2.3 Ускорение автомобиля на ровной дороге

Когда машина мчится с ускорением  $a$  на ровной дороге, как показано на рис. 2.7 вертикальные силы под передними и задними колесами равны

$$F_{z1} = \frac{1}{2} Mg \frac{a_2}{L} - M \frac{1}{2} \frac{xa}{LG} \quad (2,87)$$

$$F_{z2} = \frac{1}{2} Mg \frac{a_1}{L} + M \frac{1}{2} \frac{xa}{LG}. \quad (2,88)$$

Первые слагаемые,  $\frac{1}{2} Mg \frac{a_2}{L}$  и  $\frac{1}{2} Mg \frac{a_1}{L}$ , называются статическими частями, и вторые слагаемые,  $\pm M \frac{1}{2} \frac{xa}{LG}$ , называются динамическими частями нормальных сил.

Доказательство. Транспортное средство рассматривается как твердое тело, движущееся по горизонтальной дороге. Сила на отпечатке шины каждой шины может быть разложена на нормальную и продольную силу. Уравнения движения ускоряющейся машины происходят из уравнения Ньютона в  $икс$ -направление и два статических

уравнения равновесия.

$$I_{\text{Кс}} \quad F_{\text{Кс}} \text{ знак равно } m a \quad (2,89)$$

$$I_{\text{Кс}} \quad F_z \text{ знак равно } 0 \quad (2,90)$$

$$I_{\text{Кс}} \quad M u \text{ знак равно } 0. \quad (2,91)$$

Расширение уравнений движения дает три уравнения для четырех неизвестных  $F_{\text{Кс1}}$ ,  $F_{\text{Кс2}}$ ,  $F_{z1}$ ,  $F_{z2}$ .

$$2F_{\text{Кс1}} + 2F_{\text{Кс2}} \text{ знак равно } m a \quad (2,92)$$

$$2F_{z1} + 2F_{z2} - m g = 0 \quad (2,93)$$

$$-2F_{z1} + 2F_{z2} - 2(F_{\text{Кс1}} + F_{\text{Кс2}}) h = 0 \quad (2,94)$$

Однако можно исключить  $(F_{\text{Кс1}} + F_{\text{Кс2}})$  между первым и третьим уравнения и решить для нормальных сил  $F_{z1}$ ,  $F_{z2}$ .

$$F_{z1} \text{ знак равно } (F_z)_1 \text{ ул} + (F_{z1})_{\text{дин}} \quad (2,95)$$

$$\text{знак равно } \frac{1}{2} m g \frac{a_2}{L} - \frac{1}{2} m g \frac{x a}{L G}$$

$$F_{z2} \text{ знак равно } (F_z)_2 \text{ ул} + (F_{z2})_{\text{дин}} \quad (2,96)$$

$$\text{знак равно } \frac{1}{2} m g \frac{a_1}{L} + \frac{1}{2} m g \frac{x a}{L G}$$

Статические части

$$(F_z)_1 \text{ ул} \quad \text{знак равно } \frac{1}{2} m g \frac{a_2}{L} \quad (2,97)$$

$$(F_z)_2 \text{ ул} \quad \text{знак равно } \frac{1}{2} m g \frac{a_1}{L} \quad (2,98)$$

являются развесовкой для неподвижного автомобиля и зависят от горизонтали положение центра масс. Однако динамические части

$$(F_{z1})_{\text{дин}} \quad \text{знак равно } \frac{1}{2} m g \frac{x a}{L G} \quad (2,99)$$

$$(F_{z2})_{\text{дин}} \quad \text{знак равно } \frac{1}{2} m g \frac{x a}{L G} \quad (2,100)$$

указывают распределение веса в соответствии с горизонтальным ускорением и зависят от вертикального положения центра масс.

При ускорении  $a > 0$ , нормальные силы под передними шинами меньше статической нагрузки, а под задними шинами больше, чем статическая нагрузка.



**Пример 50 Передний привод ускоряется по ровной дороге.**

Когда машина переднеприводная,  $F_{икс2}$  знак равно 0. Уравнения (2.92) - (2.88) обеспечат те же силы вертикального отпечатка шины, что и (2.87) и (2.88). Тем не менее, требуемая горизонтальная сила для достижения такого же ускорения, а, должны обеспечиваться исключительно передними колесами.

**Пример 51 Задний привод ускоряется на ровной дороге.**

Если машина заднеприводная, то,  $F_{икс1}$  знак равно 0 и требуемая сила для достижения ускорения, а, должны обеспечиваться только задними колесами. Вертикаль сила под колесами останется такой же, как (2.87) и (2.88).

**Пример 52 Максимальное ускорение на ровной дороге.**

Максимальное ускорение автомобиля пропорционально трению под колесами. Мы предполагаем, что коэффициенты трения передних и задних шин равны, и все шины одновременно достигают максимального сцепления.

$$F_{икс1} \quad \text{знак равно} \pm \mu_{икс} F_{z1} \quad (2.101)$$

$$F_{икс2} \quad \text{знак равно} \pm \mu_{икс} F_{z2} \quad (2.102)$$

Уравнение Ньютона (2.92) теперь можно записать в виде

$$ma = \pm 2 \mu_{икс} (F_{z1} + F_{z2}). \quad (2.103)$$

Подстановка  $F_z$  а также  $F_z$  из (2.93) и (2.94) дает

$$a = \pm \mu_{икс} g. \quad (2.104)$$

Следовательно, максимальное ускорение и замедление напрямую зависят от коэффициента трения.

**Пример 53 Максимальное ускорение для одноосного автомобиля.**

Максимальное ускорение  $a_{задний ход}$  для заднеприводной машины достигается когда мы заменяем  $F_{икс1} = 0$ ,  $F_{икс2} = \mu_{икс} F_{z2}$  в уравнении (2.92) и воспользуемся Уравнение (2.88)

$$\mu_{икс} m g \frac{a_1}{L} + \frac{m a_{задний ход}}{L} = \mu_{икс} F_{z2} \quad \text{знак равно} \quad \mu_{икс} \frac{m g}{2} \quad (2.105)$$

и поэтому,

$$\frac{a_{задний ход}}{g} = \frac{\mu_{икс} a_1}{1 - \mu_{икс}} \quad (2.106)$$

Передние колеса могут оторваться от земли, когда  $F_{z1}$  знак равно 0. Подстановка  $F_{z1}$  знак равно 0 в уравнении (2.88) обеспечивает максимальное ускорение, при котором передняя колеса еще в дороге.

$$\frac{a_{задний ход}}{g} \leq \frac{a_2}{g} \quad (2.107)$$

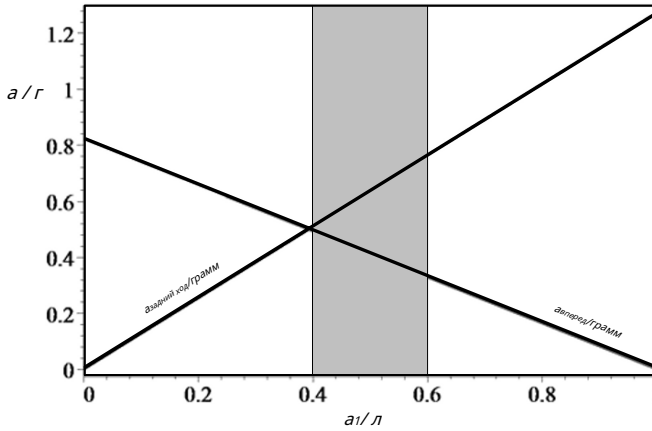


РИСУНОК 2.8. Влияние положения центра масс на максимально достижимое ускорение как переднеприводного, так и заднеприводного автомобиля.

Следовательно, максимально достижимое ускорение будет меньшим значением уравнения (2.106) или (2.107).

Аналогично максимальное ускорение  $a_{\text{вперед}}$  для переднеприводной машины достигается заменой  $F_{\text{ИКС}2}$  знак равно 0,  $F_{\text{ИКС}1} = \mu_{\text{ИКС}} F_{Z1}$  в уравнении (2.92) и используйте уравнение (2.87).

$$\begin{aligned} \frac{a_{\text{вперед}}}{\text{грамм}} &= \frac{a_{2\text{ИКС}}}{1 + \mu_{\text{ИКС}}} \quad \text{знак равно} \quad \frac{\mu_{\text{ИКС}}}{1 + \mu_{\text{ИКС}}} \cdot 1 - \frac{a_1}{\text{л}} \end{aligned} \quad (2.108)$$

Чтобы увидеть влияние изменения положения центра масс на максимально достижимое ускорение, мы построим рисунок 2.8 для образца автомобиля с

$$\begin{aligned} \mu_{\text{ИКС}} &\text{ знак равно } 1 \\ \text{час} &\text{ знак равно } 0,56 \text{ м} \\ \text{л} &\text{ знак равно } 2,6 \text{ м.} \end{aligned} \quad (2.109)$$

Легковые автомобили обычно в ассортименте  $0,4 < (a_1/\text{г}) < 0,6$ , с участием  $(a_1/\text{грамм}) \rightarrow 0,4$  для переднеприводных автомобилей, и  $(a_1/\text{грамм}) \rightarrow 0,6$  для заднеприводных автомобилей. В этом диапазоне  $(a_{\text{задний ход}}/\text{г}) > (a_{\text{вперед}}/\text{грамм})$  и поэтому автомобили с задним приводом могут достигать более высокого переднего ускорения, чем автомобили с передним приводом. Это неважный прикладной факт, особенно для гоночных автомобилей.

Максимальное ускорение также может быть ограничено условием наклона.

$$\frac{a_{\text{м}}}{\text{грамм}} \leq \frac{a_2}{\text{час}} \quad (2.110)$$

Пример 54 Минимальное время для 0-100 км / ч на ровной дороге.

Рассмотрим автомобиль со следующими характеристиками:

длина	знак равен	4245 мм	
ширина	знак равен	1795 мм	
рост	знак равен	1285 мм	
колесная база	знак равен	2272 мм	
передняя колея	знак равен	1411 мм	(2.111)
задняя колея	знак равен	1504 мм	
вес нетто	знак равен	1500 кг	
час	знак равен	220 мм	
микс	знак равен	1	
a1	знак равен	a2	

Предположим, что автомобиль заднеприводный, и его двигатель может обеспечить максимальное сцепление с дорогой, поддерживаемое трением. Уравнение (2.88) определяет нагрузку на задние колеса, и поэтому уравнение движения вперед имеет вид

$$2F_{\text{Икс}2} = 2m_{\text{Икс}} g \frac{a_1}{L} \quad (2.112)$$

Перегруппировка дает следующее дифференциальное уравнение для вычисления местонахождения и перемещение:

$$a = \frac{g \mu \frac{a_1}{L}}{1 - \mu \frac{a_1}{L}} \quad (2.113)$$

Принимая интеграл

$$\int_0^{27,78} dv = \int_0^T a dt \quad (2.114)$$

между  $v = 0$  а также  $v = 100 \text{ км / ч} \approx 27,78 \text{ м / с}$  показывает, что минимальный время 0-100 км / ч на ровной дороге

$$t = \frac{27,78}{a_1} \approx 5,11 \text{ с} \quad (2.115)$$



Если бы этот же автомобиль был переднеприводным, то сила тяги была бы

$$2F_{\text{Икс1}} = \text{знак равенства} \frac{2 \text{ мкм}}{\text{л}} F_{z1} = \text{знак равенства} \frac{2 \text{ мкг}}{\text{л}} \frac{a_1}{\text{л}} \frac{\text{час}^2}{\text{грамм}} \frac{1}{L} a$$

$ma.$

(2.116)

и уравнение движения сводилось бы к

$$a = \text{знак равенства} \ddot{x} = \frac{\frac{\text{мксграмм}}{\text{л}} \frac{a_1}{\text{л}}}{1 + \frac{\text{мксграмм}}{\text{л}} \frac{\text{час}^2}{\text{грамм}} \frac{1}{L} a}$$

$$\text{знак равенства} \mu \frac{a_2}{\text{Икс1} + h_{\text{Икс}}}.$$
(2.117)

Минимальное время для 0-100 км / ч на ровной дороге для этого переднеприводного-  
водить машину

$$t = \frac{27,78}{\frac{a_2}{\mu_{\text{Икс1}} + h_{\text{Икс}}}} \approx 6.21 \text{ с.}$$
(2.118)

Теперь представьте, что этот же автомобиль полноприводный. Затем тяга  
сила

$$2F_{\text{Икс1}} + 2F_{\text{Икс2}} = \text{знак равенства} \frac{2 \text{ мкм}}{\text{л}} (F + F)_{z2} = \text{знак равенства} \frac{2 \text{ мкг}}{\text{л}} M (a_1 + a_2)$$

$ma.$

(2.119)

и минимальное время для 0–100 км / ч на ровной дороге для этого четырехколесного автомобиля  
привод машины теоретически можно свести к

$$t = \frac{27,78}{\frac{\text{грамм}}{\text{грамм}}} \approx 2.83 \text{ с.}$$
(2.120)

## 2,4 Ускорение автомобиля на наклонной дороге

Когда автомобиль ускоряется на наклонном покрытии под углом  $\varphi$ , как показано на рисунке 2.9, нормальная сила под каждым из передних и задних колес,  $F_z, F_z$ , было бы:

$$F_{z1} = \text{мг} \frac{1}{2} \frac{\mu}{\text{л}} a_2 \cos \varphi - \frac{\text{час}}{\text{л}} \sin \varphi - \frac{1}{2} m a = \frac{\text{час}}{\text{л}} \quad (2.121)$$

$$F_{z2} = \text{знак равенства} \text{мг} \frac{1}{2} \frac{\mu}{\text{л}} a_1 \cos \varphi + \frac{\text{час}}{\text{л}} \sin \varphi + m a = \frac{\text{час}}{\text{л}} \quad (2.122)$$

$$l = a_1 + a_2$$

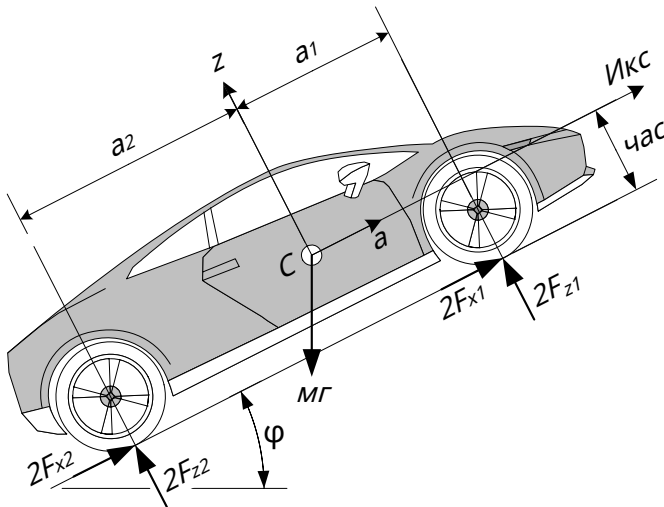


РИСУНОК 2.9. Разгоняющая машина на наклонном асфальте.

Динамические части,  $\pm 2Mg \sin \varphi$ , зависят от ускорения  $a$  и высота  $h_{с.м.}$  из центр масс  $C$  и остаются неизменными, в то время как статические части подвержены влиянию по углу наклона  $\varphi$  и высоте  $h_{с.м.}$  центра масс.

Доказательство. Уравнение Ньютона в Икс-направлении и два уравнения статического равновесия, необходимо изучить, чтобы найти уравнение движения и грунта. силы реакции.

$$I_{кс} \quad \text{Икс знак равно } ma \quad (2.123)$$

$$I_{кс} \quad \text{Икс знак равно } 0 \quad (2.124)$$

$$I_{кс} \quad \text{Икс знак равно } 0. \quad (2.125)$$

Расширение этих уравнений дает три уравнения для четырех неизвестных  $F_{Икс1}$ ,  $F_{Икс2}$ ,  $F_{z1}$ ,  $F_{z2}$ .

$$2F_{Икс1} + 2F_{Икс2} - mg \sin \varphi = ma \quad (2.126)$$

$$2F_{z1} + 2F_{z2} - mg \cos \varphi = 0 \quad 2F_z \quad (2.127)$$

$$1a1 - 2F_{z2}a2 + 2(F_{Икс1} + F_{Икс2})h = 0 \quad (2.128)$$

Есть возможность исключить  $(F_{Икс1} + F_{Икс2})$  между первым и третьим уравнениями, и решить для нормальных сил  $F_{z1}$ ,  $F_{z2}$ .

$$F_{z1} \quad \text{знак равно} \quad \frac{(F_{z1})_{ул} + (F_{z1})_{дин}}{2} \quad \mu \quad \frac{a2}{л} \quad \cos \varphi - \frac{h_{с.м.}}{л} \sin \varphi - ma \quad \frac{1}{2} \quad \frac{h_{с.м.}}{л} \quad (2.129)$$

$$F_{z2} \text{ знак равно } (F_{z2})_{\text{ул}} + (F_{z2})_{\text{дин}} \quad \mu \quad \frac{1}{2} m g \frac{a_1}{L} \cos \varphi + \frac{\text{час}}{L} \varphi + m a \frac{1}{2} \frac{\text{час}}{L} \quad (2.130)$$

Пример 55 Автомобиль переднеприводный, разгоняется по наклонной дороге.

Вместо переднеприводного автомобиля мы можем заменить  $F_{\text{ИКС1}}$  знак равно 0 в уравнениях (2.126) и (2.128), чтобы иметь определяющие уравнения. Однако это не так. влияют на силы реакции земли под шинами (2.129 и 2.130), пока автомобиль движется в предельных условиях.

Пример 56 Автомобиль с задним приводом, разгоняется по наклонной дороге.

Подстановка  $F_{\text{ИКС2}}$  знак равно 0 в уравнениях (2.126) и (2.128) и решение для нормальных сил реакции под каждой шиной дает те же результаты, что и (2.129) и (2.130). Следовательно, обычные силы, приложенные к шинам, не распознают, является ли автомобиль передним, задним или полноприводным. Пока мы едем по прямой с небольшим ускорением, ведущие колеса могут быть передними или задними. Однако преимущества и недостатки автомобилей с передним, задним или полным приводом проявляются при маневрировании, скользкой дороге или когда требуется максимальное ускорение.

Пример 57 Максимальное ускорение на наклонной дороге.

Максимальное ускорение зависит от трения под шинами. Предположим, что коэффициенты трения в передних и задних шинах равны. Потом, передняя и задняя тяговые силы равны

$$F_{\text{ИКС1}} \leq \mu_{\text{ИКС}} F_{z1} \quad (2.131)$$

$$F_{\text{ИКС2}} \leq \mu_{\text{ИКС}} F_{z2} . \quad (2.132)$$

Если предположить, что передние и задние колеса достигают предела тяги на в то же время, тогда

$$F_{\text{ИКС1}} \text{ знак равно } \pm \mu_{\text{ИКС}} F_{z1} \quad (2.133)$$

$$F_{\text{ИКС2}} \text{ знак равно } \pm \mu_{\text{ИКС}} F_{z2} \quad (2.134)$$

и мы можем переписать уравнение Ньютона (2.123) в виде

$$m a \text{ знак равно } \pm 2 \mu_{\text{ИКС}} (F_{z1} + F_{z2}) - m g \sin \varphi \quad (2.135)$$

куда, ам это максимально достижимое ускорение.

Теперь подставляем  $F_{z1}$  а также  $F_{z2}$  из (2.129) и (2.130) дает

$$\text{ам знак равно } \pm \mu_{\text{ИКС}} \cos \varphi - \sin \varphi . \quad (2.136)$$

Разгон по дороге в гору ( $a > 0$ ,  $\varphi > 0$ ) и торможение на спуске ( $a < 0$ ,  $\varphi < 0$ ) являются крайними случаями, когда автомобиль может заглохнуть. В этих случаях автомобиль может двигаться столько, сколько

$$\mu_{\text{ИКС}} \geq |\tan \varphi| . \quad (2.137)$$

## Пример 58 Пределы ускорения и угла наклона.

Предполагая  $F_{z1} > 0$  а также  $F_{z2} > 0$ , мы можем записать уравнения (2.121) и (2.122) как

$$\frac{a}{\text{грамм}} \leq \frac{a_2}{\text{час}} \cos \varphi - \sin \varphi \quad (2.138)$$

$$\frac{a}{\text{грамм}} \geq -1 \frac{a}{\text{час}} \cos \varphi - \sin \varphi. \quad (2.139)$$

Следовательно, максимально достижимое ускорение ( $a > 0$ ) ограничено  $a_2$ ,  $h$ ,  $\varphi$ ; а максимальное замедление ( $a < 0$ ) ограничено  $a_1$ ,  $h$ ,  $\varphi$ . Эти двое уравнения можно объединить, чтобы получить

$$-\frac{a_1}{\text{час}} \cos \varphi \leq \frac{a}{gh} \sin \varphi \leq \frac{a_2}{\text{час}} \cos \varphi. \quad (2.140)$$

Если  $a \rightarrow 0$ , тогда пределы угла наклона будут

$$-1 \frac{a}{\text{час}} \tan \varphi \leq \frac{a_2}{\text{час}} \quad (2.141)$$

Это максимальный и минимальный углы наклона дороги, при которых автомобиль может оставаться без опрокидывания и падения.

## Пример 59 Максимальное замедление для автомобиля с одноосным тормозом.

Мы можем найти максимальное замедление торможения  $a_{\text{rwb}}$  переднеприводного затормозить автомобиль на горизонтальной дороге, подставив  $\varphi = 0$ ,  $F_{\text{икс}2} = 0$ ,  $F_{\text{икс}1}$  знак равно  $-\mu F_{\text{к}2}$  в уравнении (2.126) и используя уравнение (2.121)

$$-\mu_{\text{икс}1} \frac{a_2}{\text{л}} - \frac{\text{час}^3 a_{\text{rwb}}}{\text{грамм}} \quad \text{знак равно} \quad \text{майн} \quad (2.142)$$

следовательно,

$$\frac{a_{\text{rwb}}}{\text{грамм}} = - \frac{\mu_{\text{икс}}}{1 - \mu_{\text{икс}} \frac{\text{час}^3}{\text{л}}} 1 - \frac{a'}{\text{л}} \quad (2.143)$$

Аналогично максимальное замедление торможения  $a_{\text{rwb}}$  переднего тормоза автомобиль может быть получен, если мы заменим  $F_{\text{икс}2} = 0$ ,  $F_{\text{икс}1}$   $F_{\text{икс}2}$ .

$$\frac{a_{\text{rwb}}}{\text{грамм}} = - \frac{\mu_{\text{икс}}}{1 + \mu_{\text{икс}} \frac{\text{час}^3}{\text{л}}} \frac{a_1}{\text{л}} \quad (2.144)$$

Влияние изменения положения центра масс на максимально достижимое замедление торможения показано на рисунке 2.10 для образца автомобиля.

с участием

$$\begin{aligned} &\mu_{\text{икс}} \text{ знак равно} 1 \\ &\text{час}^3 \text{ знак равно} 0,56 \text{ м} \\ &\text{л} \text{ знак равно} 2,6 \text{ м.} \end{aligned} \quad (2.145)$$

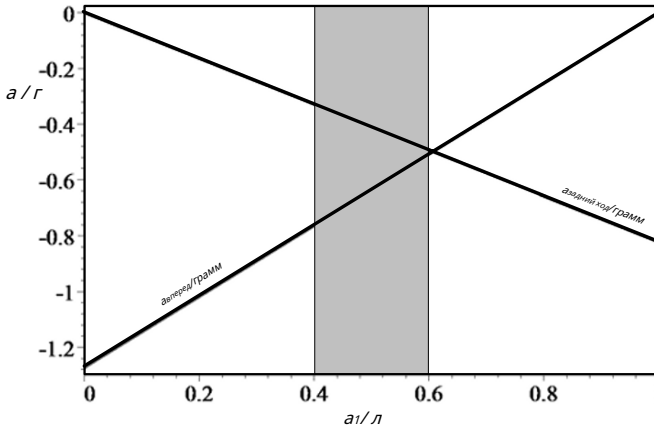


РИСУНОК 2.10. Влияние положения центра масс на максимально достижимое замедление переднеприводного и заднеприводного автомобиля.

Легковые автомобили обычно в ассортименте  $0,4 < (a_1/l) < 0,6$ . В этом диапазоне  $(a_{\text{твб}}/g) < (a_{\text{твбхв}}/\text{грамм})$  и поэтому автомобили с передним тормозом могут достичь лучшего замедления вперед, чем автомобили с задним тормозом. Следовательно, передние тормоза намного важнее задних тормозов.

**Пример 60 F Автомобиль с прицепом.**

На рис. 2.11 изображен автомобиль, движущийся по наклонной дороге с прицепом. Чтобы проанализировать движение автомобиля с прицепом, нам нужно разделить автомобиль и прицеп, чтобы увидеть силы на шарнире, как показано на рисунке 2.12. Мы предполагаем центр масс прицепа  $S_T$  на расстоянии  $b_3$  перед единственной осью трейлера. Если  $S_T$  находится за осью прицепа, то  $b_3$  должно быть отрицательным в следующих уравнениях.

Для идеального шарнира между автомобилем и прицепом, движущимся по прямой дороге, должна быть горизонтальная сила  $F_{\text{Икс}}$  и вертикальная сила  $F_z$ .

Записывая уравнение Ньютона в Икс-направление и два статических равновесия уравнения как для прицепа, так и для транспортного средства

$$\begin{array}{l} \text{Икс} \\ F_{\text{Икс}} \text{ знак равно } m \cdot a \end{array} \quad (2.146)$$

$$\begin{array}{l} \text{Икс} \\ F_z \text{ знак равно } 0 \end{array} \quad (2.147)$$

$$\begin{array}{l} \text{Икс} \\ M \cdot u \text{ знак равно } 0 \end{array} \quad (2.148)$$

находим следующую систему уравнений:

$$F_{\text{Икс}T} - m_T \text{ грамм } \sin \varphi = m_T a \quad (2.149)$$

$$2F_{z3} - F_{zT} - m_T \text{ грамм } \cos \varphi = 0 \quad (2.150)$$

$$F_{z3}b_3 - F_{zT}b_2 - F_{\text{Икс}T}(b_2 \cos \varphi - b_1 \sin \varphi) = 0 \quad (2.151)$$

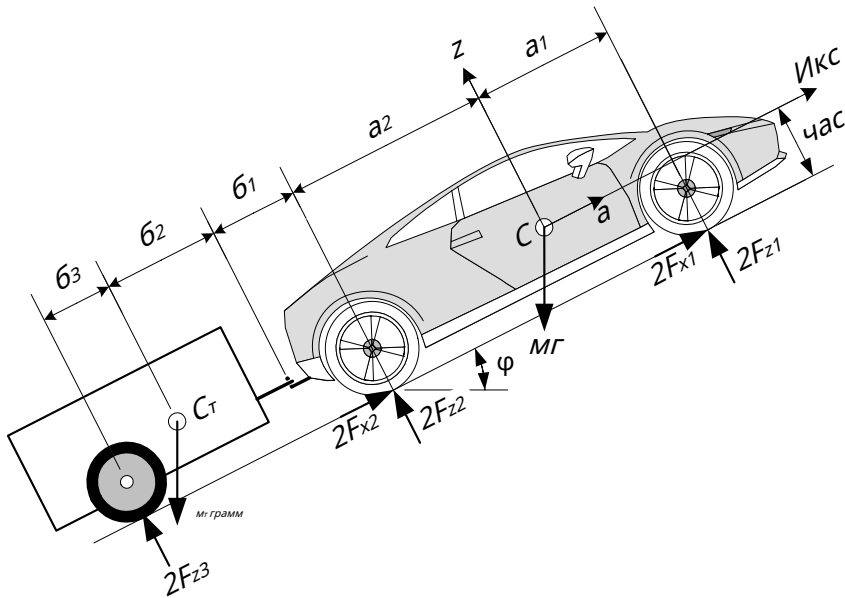


РИСУНОК 2.11. Автомобиль движется по наклонной дороге с прицепом.

$$2F_{z1} - F_{IKC1} \sin \varphi = ma \quad (2.152)$$

$$2F_{z2} - F_{IKC2} \sin \varphi = 0 \quad (2.153)$$

$$2F_{z1}a_1 - 2F_{z2}a_2 + 2(F_{IKC1} + F_{IKC2}) \cos \varphi - F_{IKCT}(\psi - \psi_1) + F_{ZT}(b_1 + a_2) = 0 \quad (2.154)$$

Если значение тяговых сил  $F_{IKC1}$  и  $F_{IKC2}$  даны, то это шесть уравнений для шести неизвестных:  $A, F, F_{IKCT}, F_{ZT}, F_{Z1}, F_{Z2}$ . Решение этих уравнений предлагаем следующие решения:

$$a = \frac{2}{M + M_T} (F_{IKC1} - F_{IKC2} \sin \varphi) \quad (2.155)$$

$$F_{IKCT} = \frac{2M_T}{M + M_T} (F_{IKC1} + F_{IKC2}) \quad (2.156)$$

$$F_{ZT} = \frac{\psi_1 - \psi}{b_2 - b_3} \frac{2M_T}{M + M_T} (F_{IKC1} + F_{IKC2}) + \frac{b_3}{b_2 - b_3} M_T \cos \varphi \quad (2.157)$$

$$F_{Z1} = \frac{b_3}{2L} \frac{\mu}{\cos \varphi} \frac{2a_2 - b_1}{b_2 - b_3} + \frac{a_2 M_T \cos \varphi}{b_3} + \frac{2a_2 - b_1}{b_2 - b_3} (\psi_1 - \psi) M_T - \chi M_T \frac{F_{IKC1} + F_{IKC2}}{L(M + M_T)} \quad (2.158)$$

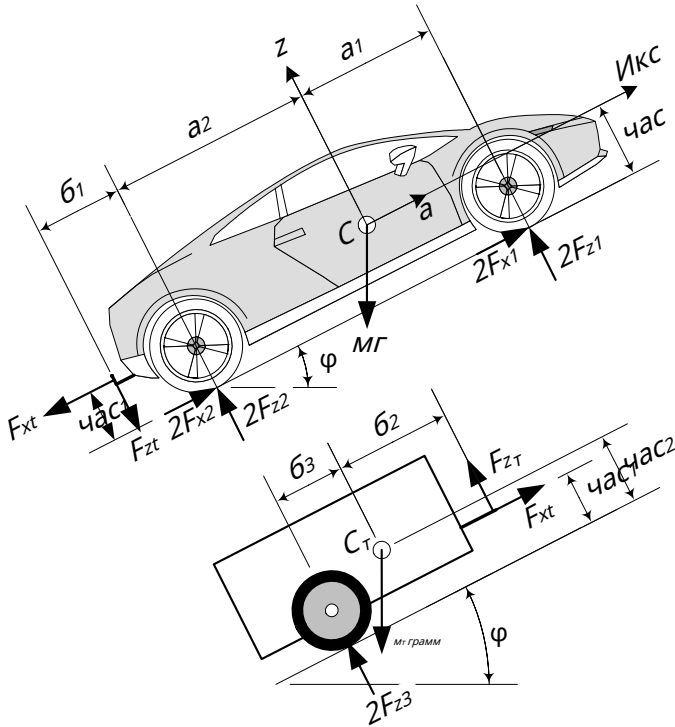


РИСУНОК 2.12. Свободная схема автомобиля и прицепа при движении по дороге в гору.

$$F_{Z2} = \frac{\mu}{2} \frac{a_1 - a_2 + b_1}{b_2 - b_3} M + \frac{a}{b_3} M \cos \varphi + \frac{a_1 - a_2 + b_1}{b_2 - b_3} (u + \dot{u}) M_T + \text{час}_1 M_T + \text{хм} \frac{F_{\text{ИКС1}} + F_{\text{ИКС2}}}{L(M + M_T)} \quad (2.159)$$

$$F_{Z1} = \frac{1}{2} \frac{b_2}{b_2 - b_3} M_T \cos \varphi + \frac{u_1 - \text{час}_2}{b_2 - b_3} \frac{M_T}{M + M_T} (F_{\text{ИКС1}} + F_{\text{ИКС2}}) \quad (2.160)$$

$$L = a_1 + a_2. \quad (2.161)$$

Однако если значение ускорения  $a$  известно, то неизвестными являются:  $F_{\text{ИКС1}} + F_{\text{ИКС2}}$ ,  $F_{\text{ИКС1}}$ ,  $F_{\text{ИКС2}}$ ,  $F_{Z1}$ ,  $F_{Z2}$ ,  $F_{Z3}$ .

$$F_{\text{ИКС1}} + F_{\text{ИКС2}} = \frac{1}{2} (M + M_T) (a + g \sin \varphi) \quad (2.162)$$

$$F_{\text{ИКС1}} = \text{знак равно } M_T (a + g \sin \varphi) \quad (2.163)$$

$$F_{Z1} = \frac{\text{час}_1 - \text{час}_2}{b_2 - b_3} M_T (a + g \sin \varphi) + \frac{b_3}{b_2 - b_3} M_T \cos \varphi \quad (2.164)$$

$$F_{Z1} = \frac{\mu}{2l} \frac{2a_2 - b_1 m}{b_2 - b_3} + \frac{a_2 m}{b_3} \text{ грамм } \cos \varphi \quad (2,165)$$

$$+ \frac{1}{2l} \frac{2a_2 - b_1}{b_2 - b_3} (\chi_{ac1} - \chi_{ac2}) m_T - \chi_{ac1} m_T - \chi_m (a + g \sin \varphi)$$

$$F_{Z2} = \frac{\mu}{2l} \frac{a_1 a_2 + b_1 m}{b_2 - b_3} + \frac{a_1 m}{b_3} \text{ грамм } \cos \varphi \quad (2,166)$$

$$+ \frac{1}{2l} \frac{a_1 a + b_1 (\chi_{ac1} - \chi_{ac2})}{b_2 - b_3} (1 - h) m + h m + h m (a + g \sin \varphi)$$

$$F_{Z3} = \frac{1}{2} \frac{m_T}{b_2 - b_3} (b_2 \text{ грамм } \cos \varphi + (\chi_{ac1} - \chi_{ac2}) (a + g \sin \varphi)) \quad (2,167)$$

$$l = a_1 + a_2.$$

Пример 61 F Максимальный угол наклона для автомобиля с прицепом.

Для легкового автомобиля и прицепа, как показано на рисунке 2.11, максимальный угол наклона угла наклона  $\varphi_m$  это угол, при котором автомобиль не может разогнаться. Подстановка  $a = 0$  и  $\varphi = \varphi_m$  в уравнении (2.155) показывает, что

$$\sin \varphi_m \text{ знак равно } \frac{2}{(m + m_T) F} (F_{ик1} + F_{ик2}) \quad (2,168)$$

Значение максимального угла наклона  $\varphi_m$  увеличивается за счет уменьшения общей массы автомобиля и прицепа  $(m + m_T)$  грамм или увеличение тяги сила  $F_{ик1} + F_{ик2}$ .

Сила тяги ограничена максимальным крутящим моментом на ведущем колесе. и трение под ведущей шиной. Предположим, что автомобиль четырехколесный, а коэффициенты трения на передних и задних колесах равны. Потом, передняя и задняя тяговые силы равны

$$F_{ик1} \leq \mu_{икс} F_{Z1} \quad (2,169)$$

$$F_{ик2} \leq \mu_{икс} F_{Z2}. \quad (2,170)$$

Если предположить, что передние и задние колеса достигают предела тяги на в то же время, тогда

$$F_{ик1} \text{ знак равно } \mu_{икс} F_{Z1} \quad (2,171)$$

$$F_{ик2} \text{ знак равно } \mu_{икс} F_{Z2} \quad (2,172)$$

и мы можем переписать уравнение (2.168) как

$$\sin \varphi_m \text{ знак равно } \frac{2 \mu_{икс}}{(m + m_T) \text{ грамм}} (F_{Z1} + F_{Z2}) \quad (2,173)$$

Теперь подставляем  $F_{Z1}$  а также  $F_{Z2}$  из (2.158) и (2.159) дает

$$\frac{(m_{b3} - m_{b2} - m_{tb3}) \mu_{икс} \cos \varphi_m + (b_2 - b_3) (m + m_T) \sin \varphi_m}{m \{ \chi_{ac1} - \chi_{ac2} \}} (F_{ик1} + F_{ик2}). \quad (2,174)$$



Если представить уравнение (2.174) в виде

$$A \cos \varphi_m + B \sin \varphi_m \text{ знак равно } C \quad (2,175)$$

тогда

$$\varphi_m \text{ знак равно } \arctan 2 \left( \frac{C}{A_2 + B_2}, \pm \frac{P}{1 - \frac{C_2}{A_2 + B_2}} \right) - \arctan 2 (A, B) \quad (2,176)$$

а также

$$\varphi_m \text{ знак равно } \arctan 2 \left( \frac{C}{A_2 + B_2}, \pm \frac{P}{A_2 + B_2 - C_2} \right) - \arctan 2 (A, B) \quad (2,177)$$

куда

$$A = (m_{б3} - m_{б2} - m_{тб3}) \mu_{икс} \quad (2,178)$$

$$B = (b_2 - b_3) (m + m_t) \quad (2,179)$$

$$C = \frac{m_t (час_1 - час_2)}{m + m_t} (F_{икс1} + F_{икс2}). \quad (2,180)$$

Для заднеприводного автомобиля, тянущего прицеп со следующим характером: istics:

$$\begin{aligned} l &= 2272 \text{ мм} \\ ш &= 1457 \text{ мм} \\ час &= 230 \text{ мм} \\ a_1 &= a_2 \\ час_1 &= 310 \text{ мм} \\ б_1 &= 680 \text{ мм} \\ б_2 &= 610 \text{ мм} \\ б_3 &= 120 \text{ мм} \\ час_2 &= 560 \text{ мм} \\ m &= 1500 \text{ кг} \\ m_t &= 150 \text{ кг} \\ \mu_{икс} &= 1 \\ \varphi &= 10 \text{ град} \\ a &= 1 \text{ м / с}^2 \end{aligned} \quad (2.181)$$

мы нашли

$$\begin{aligned} F_{z1} &= 3441.78 \text{ N} \\ F_{z2} &= 3877.93 \text{ N} \\ F_{z3} &= 798.57 \text{ N} \\ F_{zt} &= 147.99 \text{ N} \\ F_{икс1} &= 405.52 \text{ N} \\ F_{икс2} &= 2230.37 \text{ N}. \end{aligned} \quad (2,182)$$

Проверить, требуется ли тяговое усилие.  $F_{икс2}$  применимо, мы должны сравнить это максимально доступная сила трения  $\mu F_{z2}$  и это должно быть

$$F_{икс2} \leq \mu F_{z2}. \quad (2,183)$$

Пример 62 F Решение уравнения  $a \cos \theta + b \operatorname{gr} \theta = c$ .

Первый тип тригонометрического уравнения - это

$$a \cos \theta + b \operatorname{gr} \theta = c. \quad (2,184)$$

Ее можно решить, введя две новые переменные  $p$  и  $\eta$  такие, что

$$a \quad \text{знак равно} \quad p \operatorname{gr} \eta \quad (2,185)$$

$$b \quad \text{знак равно} \quad p \cos \eta \quad (2,186)$$

и поэтому,

$$p \quad \text{знак равно} \quad \frac{c}{a^2 + b^2} \quad (2,187)$$

$$\eta = \operatorname{atan2}(a, b). \quad (2,188)$$

Подстановка новых переменных показывает, что

$$\operatorname{gr}(\eta + \theta) \quad \text{знак равно} \quad \frac{c}{p} \quad (2,189)$$

$$\cos(\eta + \theta) \quad \text{знак равно} \quad \pm 1 - \frac{c^2}{p^2}. \quad (2,190)$$

Следовательно, решения проблемы следующие:

$$\theta = \operatorname{atan2}\left(\frac{c}{p}, \pm 1 - \frac{c^2}{p^2}\right) - \operatorname{atan2}(a, b) \quad (2,191)$$

а также

$$\theta = \operatorname{atan2}\left(\frac{c}{p}, \pm p^2 - c^2\right) - \operatorname{atan2}(a, b). \quad (2,192)$$

Следовательно, уравнение  $a \cos \theta + b \operatorname{gr} \theta = c$  имеет два решения, если  $p^2$  знак равно  $a^2 + b^2 > c^2$ , одно решение, если  $p^2$  знак равно  $c^2$ , и нет решения, если  $p^2 < c^2$ .

Пример 63 F Функция  $\operatorname{atan2}^{-1} y \quad x \quad \text{знак равно} \quad \operatorname{atan2}(y, x)$ .

При расчете кинематики существует множество ситуаций, в которых нам нужно найти угол на основе  $\operatorname{gr} a$  также потому что функции угла. Тем не менее,  $\operatorname{atan2}^{-1}$  не может показать влияние отдельного знака для числителя и знаменателя.

Он всегда представляет собой угол в первом или четвертом квадранте. Чтобы преодолеть эту проблему и определить угол в правильном квадранте,

в  $\operatorname{atan2}$  функция представлена, как показано ниже.

$$\operatorname{atan2}(y, x) = \begin{cases} \operatorname{atan2}^{-1} \frac{y}{\text{Икс}} & \text{если } y > 0 \\ \operatorname{atan2}^{-1} \frac{y}{\text{Икс}} + \text{знак } \pi y & \text{если } y < 0 \\ \frac{\pi}{2} \text{ подписать Икс} & \text{если } y = 0 \end{cases} \quad (2,193)$$

В этом тексте, упоминалось ли это или нет, где бы загар-1  $y$  — используется, он должен быть рассчитан на основе  $\text{atan2}(y, x)$ . Икс является

Пример 64 Нулевое вертикальное усилие на шарнире.

Мы можем сделать вертикальную силу на шарнире равной нулю, исследуя Уравнение (2.157) для вертикальной силы шарнира  $F_{z\tau}$ .

$$F_{z\tau} \text{ знак равно } \frac{\text{час}_1 - \text{час}_2}{b_2 - b_3} \frac{2m_\tau}{m + m_\tau} (F_{икс1} + F_{икс2}) + \frac{b_3}{b_2 - b_3} m_\tau \text{ грамм } \cos \varphi \quad (2,194)$$

Сделать  $F_{z\tau} = 0$ , достаточно отрегулировать положение центра масс прицепа  $C_\tau$  точно на оси прицепа и на той же высоте, что и шарнир. В эти условия у нас есть

$$\text{час}_1 \text{ знак равно } \text{час}_2 \quad (2,195)$$

$$b_3 \text{ знак равно } 0 \quad (2,196)$$

что делает

$$F_{z\tau} \text{ знак равно } 0. \quad (2,197)$$

Однако для повышения безопасности нагрузку следует распределять равномерно по прицепу. Тяжелые предметы следует загружать как можно ниже, в основном через ось. Следует раздавать более объемные и легкие предметы, чтобы итe b3. Такой прицеп называется носовой балкой на тягово-сцепном устройстве.

## 2.5 Припаркованный автомобиль на обочине дороги

На рисунке 2.13 показано влияние угла крена  $\varphi$  на распределение нагрузки транспортного средства. Крен приводит к увеличению нагрузки на нижние шины, и нагрузка на верхние шины уменьшиться. Силы реакции шины:

$$F_{z\tau} \text{ знак равно } \frac{1}{2} \frac{m_\tau}{\text{ш}} (b_2 \cos \varphi - \text{час} \sin \varphi) \quad (2,198)$$

$$F_{z\tau} \text{ знак равно } \frac{1}{2} \frac{m_\tau}{\text{ш}} (b_1 \cos \varphi + \text{час} \sin \varphi) \quad (2,199)$$

$$\text{ш} = b_1 + b_2 \quad (2.200)$$

Доказательство. Начиная с уравнений равновесия

$$\text{Икс} \quad F_{y\tau} \text{ знак равно } 0 \quad (2.201)$$

$$\text{Икс} \quad F_{z\tau} \text{ знак равно } 0 \quad (2.202)$$

$$\text{Икс} \quad M_{икс} \text{ знак равно } 0. \quad (2.203)$$

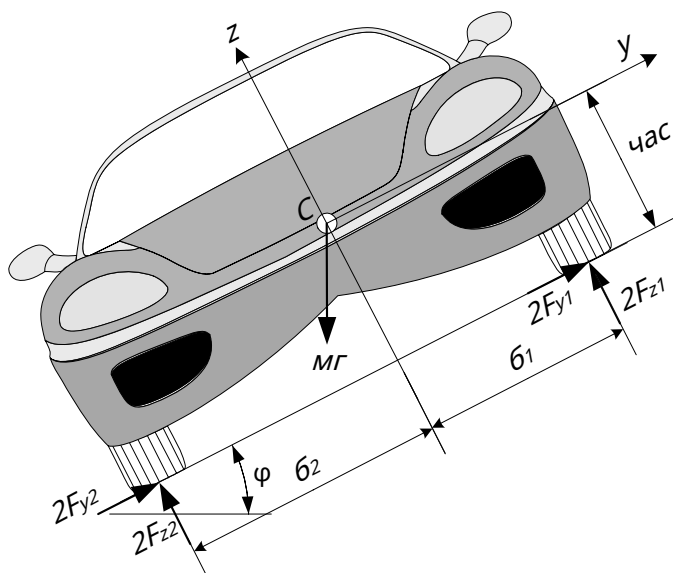


РИСУНОК 2.13. Нормальная сила под шинами транспортного средства при подъеме и спуске, припаркован на обочине дороги.

мы можем написать

$$2F_{y1} + 2F_{y2} - mg \sin \varphi = 0 \quad 2F_{z1} \quad (2.204)$$

$$+ 2F_{z2} - mg \cos \varphi = 0 \quad 2F_{z1}b_1 - \quad (2.205)$$

$$2F_{z2}b_2 + 2(F_{y1} + F_{y2})h = 0. \quad (2.206)$$

Мы предположили, что силы под нижними шинами, передними и задними, равны, а также силы под верхними шинами, передними и задними равными. Чтобы рассчитать силы реакции под каждой шиной, мы можем принять общую боковую силу  $F_y$ ,  $F_{z1}$  как неизвестный. Решение этих уравнений дает боковой и силы реакции под верхними и нижними шинами.

$$F_{z1} \text{ знак равно } \frac{1}{2} \frac{b_1}{b_1 + b_2} mg \cos \varphi \quad \frac{1}{2} \frac{\text{час}}{ш} \quad (2.207)$$

$$F_{z2} \text{ знак равно } \frac{1}{2} \frac{b_2}{b_1 + b_2} mg \cos \varphi + mg \sin \varphi \quad \frac{1}{2} \frac{\text{час}}{ш} \quad (2.208)$$

$$F_{y1} + F_{y2} \text{ знак равно } \frac{1}{2} mg \sin \varphi \quad (2.209)$$

Под конечным углом  $\varphi = \varphi_m$ , все колеса начнут скользить одновременно- и ПОЭТОМУ,

$$F_{y1} \text{ знак равно } \frac{1}{2} F_{z1} \quad (2.210)$$

$$F_{y2} \text{ знак равно } \frac{1}{2} F_{z2} \quad (2.211)$$

Уравнения равновесия показывают, что

$$2 \mu_{y1} F_{z1} + 2 \mu_{y2} F_{z2} - mg \sin \varphi = 0 \quad (2.212)$$

$$2 F_{z1} - 2 F_{z2} - mg \cos \varphi = 0 \quad (2.213)$$

$$2 F_{z1} - 2 F_{z2} + 2 \mu_{y1} F_{z1} - \mu_{y2} F_{z2} = 0. \quad (2.214)$$

Предполагая

$$\mu_{y1} = \mu_{y2} = \mu_y \quad (2.215)$$

обеспечит

$$F_{z1} mg \frac{1}{2} \frac{b_2}{\text{ш}} \cos \varphi_M - \frac{1}{2} mg \frac{\text{час}}{\text{ш}} \sin \varphi_M \quad (2.216)$$

$$F_{z2} mg \frac{1}{2} \frac{b_1}{\text{ш}} \cos \varphi_M + \frac{1}{2} M \frac{\text{час}}{\text{ш}} \sin \varphi_M \quad (2.217)$$

$$\tan \varphi_M = \mu_y. \quad (2.218)$$

Эти расчеты верны до тех пор, пока

$$\tan \varphi_M \leq \frac{b_2}{\text{час}} \quad (2.219)$$

$$\mu_y \leq \frac{b_2}{\text{час}} \quad (2.220)$$

Если боковое трение  $\mu_y$  выше чем  $b_2/\text{час}$  потом машина покатится под гору. Чтобы увеличить способность автомобиля двигаться по дороге с наклоном, автомобиль должен быть как можно шире с центром масс как можно ниже. ■

Пример 65 Резиновые нагрузки припаркованного автомобиля на дороге с наклоном.

Автомобиль, имеющий

$$M \text{ знак равно } 980 \text{ кг} \quad (2.221)$$

$$\text{час} \text{ знак равно } 0,6 \text{ м}$$

$$\text{ш} \text{ знак равно } 1,52 \text{ м}$$

$$b_1 \text{ знак равно } b_2$$

припаркован на выезде с насыпью,  $\varphi = 4$  град. Силы под нижним и Верхние шины автомобиля:

$$F_{z1} \text{ знак равно } 2265,2 \text{ с.ш.}$$

$$F_{z2} \text{ знак равно } 2529,9 \text{ с.ш.} \quad (2.222)$$

$$F_y + F_{y2} \text{ знак равно } 335,3 \text{ с.ш.}$$

Соотношение подъемной силы  $F_{z1}$  к силе спуска  $F_{z2}$  зависит только от положение центра масс.

$$\frac{b \cos \varphi - \text{час} \sin \varphi}{F_{z2}} \quad (2.223)$$

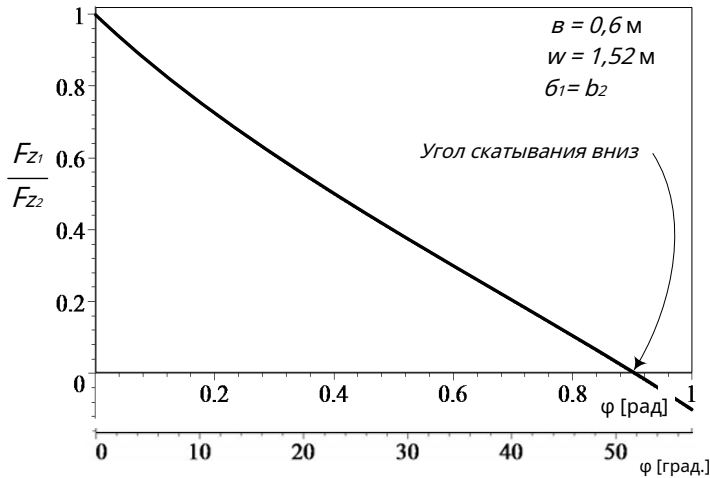


РИСУНОК 2.14. Иллюстрация соотношения сил  $F_{z1}/F_{z2}$  как функция угла наклона дороги  $\varphi$ .

Предполагая симметричный автомобиль с  $b_1$  знак равно  $b_2$  знак равно  $h/2$  упрощает уравнение до

$$\frac{F_{z1}}{F_{z2}} = \frac{h \cos \varphi - 2 \text{час} \sin \varphi}{h \cos \varphi + 2 \text{час} \sin \varphi}. \quad (2.224)$$

Рисунок 2.14 иллюстрирует поведение соотношения сил  $F_{z1}/F_{z2}$  как функция от  $\varphi$  для  $h = 0,6$  м а также  $w = 1.52$  м. Угол скатывания  $\varphi_{\text{м знак равно загар-1}} (b_2/ \text{ч}) = 51,71$  град указывает угол крена, при котором сила под подъемными колесами становятся нулевыми, и машина скатывается. Отрицательная часть кривой указывает на силу, необходимую для удержания автомобиля на дороге, что неприменимо в реальных ситуациях.

## 2,6 F Оптимальное распределение приводного и тормозного усилия

Определенное ускорение  $a$  может быть достигнуто путем регулировки и контроля продольные силы  $F_{икс1}$  а также  $F_{икс2}$ . Оптимальные продольные силы под передними и задними шинами для достижения максимального ускорения равны

$$\frac{F_{икс1}}{Mg} = \frac{1}{2} \frac{\mu a}{L} + \frac{1}{2} \frac{a a}{L G} \quad (2.225)$$

$$\begin{aligned} \frac{F_{\text{Икс}2}}{Mg} &= \frac{\text{знак равно}}{2} \frac{\frac{1 \text{ час}}{\text{л}} \frac{a_2}{\text{грамм}}}{\text{грамм}} + \frac{1}{2} \frac{a_2}{LG} \\ \frac{F_{\text{Икс}2}}{Mg} &= \frac{\text{знак равно}}{2} \frac{1}{\text{Икс} \text{ л}} \frac{a_2}{\text{л}} + \frac{1}{2} \frac{a_2}{\text{л}} \end{aligned} \quad (2.226)$$

Доказательство. Продольное уравнение движения автомобиля по горизонтальной дороге имеет вид

$$2F_{\text{Икс}1} + 2F_{\text{Икс}2} \text{ знак равно } ma \quad (2.227)$$

а максимальное тяговое усилие под каждой шиной зависит от нормального сила и коэффициент трения.

$$F_{\text{Икс}1} \leq \pm \mu_{\text{Икс}} F_{Z1} \quad (2.228)$$

$$F_{\text{Икс}2} \leq \pm \mu_{\text{Икс}} F_{Z2} \quad (2.229)$$

Однако нормальные силы зависят от ускорения автомобиля и геометрии.

$$F_{Z1} = \frac{1}{2} Mg \frac{a_2}{\text{л}} - \frac{1}{2} Mg \frac{x_a}{LG} \quad (2.230)$$

$$F_{Z2} = \frac{1}{2} Mg \frac{a_1}{\text{л}} + \frac{1}{2} Mg \frac{x_a}{LG} \quad (2.231)$$

Мы можем обобщить уравнения, сделав их безразмерными. В лучших условиях мы должны довести тяговые усилия до максимума.

$$\frac{F_{\text{Икс}1}}{Mg} = \frac{1}{2} \mu_{\text{Икс}} \frac{a_2}{\text{л}} - \frac{x_a}{LG} \quad (2.232)$$

$$\frac{F_{\text{Икс}2}}{Mg} = \frac{1}{2} \mu_{\text{Икс}} \frac{a_1}{\text{л}} + \frac{x_a}{LG} \quad (2.233)$$

и поэтому продольное уравнение движения (2.227) принимает вид

$$\frac{a}{\text{грамм}} = \mu_{\text{Икс}} \quad (2.234)$$

Подстановка этого результата обратно в уравнения (2.232) и (2.233) показывает, что

$$\frac{F_{\text{Икс}1}}{Mg} = \frac{\text{знак равно}}{2} \frac{\frac{1 \text{ час}}{\text{л}} \frac{a_2}{\text{грамм}}}{\text{грамм}} + \frac{1}{2} \frac{a_2}{LG} \quad (2.235)$$

$$\frac{F_{\text{Икс}2}}{Mg} = \frac{\text{знак равно}}{2} \frac{\frac{1 \text{ час}}{\text{л}} \frac{a_1}{\text{грамм}}}{\text{грамм}} + \frac{1}{2} \frac{a_1}{LG} \quad (2.236)$$

В зависимости от геометрии автомобиля ( $\chi$ ,  $a_1$ ,  $a_2$ ), а ускорение  $a > 0$ , эти два уравнения определяют, насколько передний и задний привод силы должны быть. Те же уравнения применяются для замедления  $a < 0$ , к

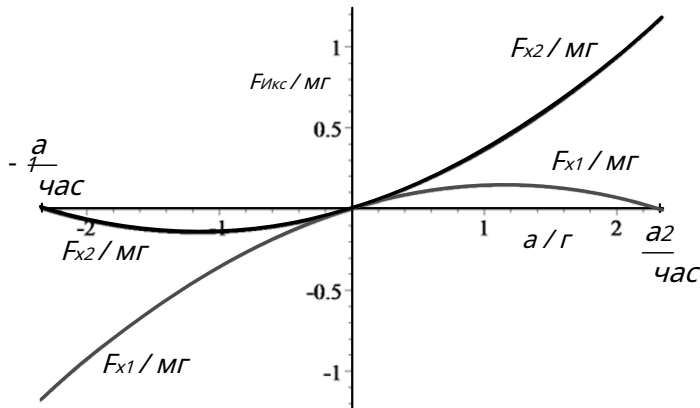


РИСУНОК 2.15. Оптимальные ведущие и тормозные силы для автомобиля-образца.

определить величину оптимальных передних и задних тормозных сил. На рисунке 2.15 представлена графическая иллюстрация оптимальных движущих сил и тормозных сил для образца автомобиля с использованием следующих данных:

$$\mu_{\text{икс}} \text{ знак равно } \frac{\frac{\text{час}}{\text{л}}}{\frac{\text{час}}{\text{л}}} = 0,21538 \quad (2.237)$$

$$\frac{a_1}{\text{л}} \text{ знак равно } \frac{1}{2}$$

При ускорении  $a > 0$ , оптимальная движущая сила на задней шине быстро растет, в то время как оптимальная движущая сила на передней шине падает после максимума. Значение  $(a / g) = (a_2 / \text{час})$  максимально возможное ускорение, при котором передние колеса теряют контакт с землей. Ускорение-ция, при которой передние (или задние) шины теряют контакт с землей, называется ускорение опрокидывания.

Обратное явление происходит при замедлении. Для  $a < 0$ , оптимальное переднее тормозное усилие быстро увеличивается, а заднее тормозное усилие падает до нуля после минимума. Замедление  $(a / g) = -(a_1 / \text{час})$  это максимально возможное замедление, при котором задние колеса теряют контакт с грунтом.

Графическое представление оптимальных сил движения и торможения можно лучше показать, построив график  $F_{\text{икс}1} / (\text{мг})$  против  $F_{\text{икс}2} / (\text{мг})$  с использованием  $(a / g)$  как параметр.

$$F_{\text{икс}1} \text{ знак равно } \frac{a_2 - \frac{a}{\text{час}}}{a_1 + \frac{a}{\text{час}}} F_{\text{икс}2} \quad (2,238)$$

$$\frac{F_{\text{икс}1}}{F_{\text{икс}2}} \text{ знак равно } \frac{a_2 \mu_{\text{икс}} \text{час}}{a_1 + \mu_{\text{икс}} \text{час}} \quad (2,239)$$



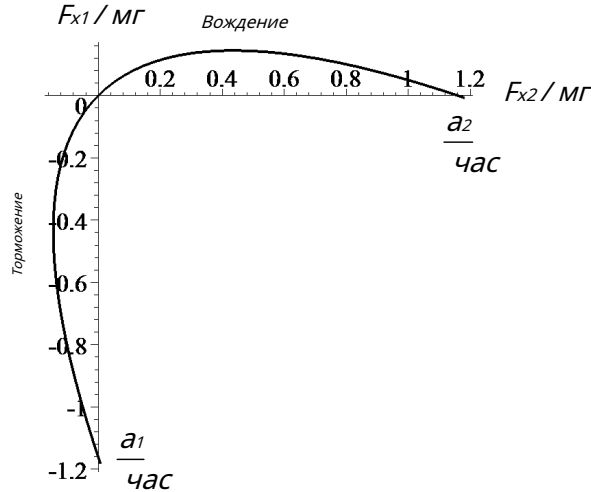


РИСУНОК 2.16. Оптимальное распределение тягового усилия и тормозного усилия между передними и задними колесами.

Такой график показан на рисунке 2.16. Это расчетная кривая, описывающая соотношение между силами под передними и задними колесами для достижения максимального ускорения или замедления.

Регулировка оптимального распределения силы не является автоматической процедурой и требует системы управления распределителем силы для измерения и регулирования сил.

#### Пример 66 F Наклон на нуле.

Начальное оптимальное распределение тягового усилия - это наклон оптимального изгиба ( $F_{икс1}/(M\Gamma)$ ,  $F_{икс2}/(M\Gamma)$ ) на нуле.

$$\lim_{a \rightarrow 0} \frac{\frac{d \frac{F_{икс1}}{M\Gamma}}{d \frac{F_{икс2}}{M\Gamma}}}{\frac{d \frac{F_{икс1}}{M\Gamma}}{d \frac{F_{икс2}}{M\Gamma}}} = \frac{-\frac{1 \text{ час}}{2 \text{ л}} \frac{a_2}{\text{грамм}} + \frac{1 \frac{a_2 a}{2 LG}}{\frac{1 \text{ час}}{2 \text{ л}} \frac{a_2}{\text{грамм}} + \frac{1 \frac{a_1 a}{2 LG}}{\frac{1 \text{ час}}{2 \text{ л}} \frac{a_2}{\text{грамм}}}}{\frac{a_2}{a_1}} \quad (2,240)$$

Следовательно, начальное распределение тягового усилия зависит только от положения центра масс. С.

#### Пример 67 F Баланс тормозов и АБС.

При торможении автомобиль устойчив, если задние колеса не блокируются. Таким образом, задние тормозные силы всегда должны быть меньше максимально возможной тормозной силы. Это означает, что распределение тормозного усилия всегда должно быть в заштрихованной области рисунка 2.17 и ниже оптимальной кривой. Это ограничивает

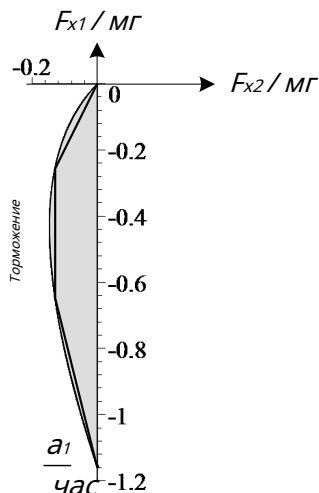


РИСУНОК 2.17. Оптимальное распределение тормозного усилия между передними и задними колесами, а также оцениваемое расстояние между колесами.

достижимое замедление, особенно при низких значениях трения, но повышает устойчивость автомобиля.

Когда распределителю силы легче следовать по линии, оптимальная кривая торможения недооценивается с использованием двух или трех линий и системы управления регулирует соотношение сил  $F_{икс1}/F_{икс2}$ . Пример трехлинейной аппроксимации показан на рис. 2.17.

Распределение тормозного усилия между передними и задними колесами называется тормозной баланс. Баланс тормозов меняется в зависимости от замедления. Чем выше упор, тем больше нагрузка будет передаваться на передние колеса и тем большее тормозное усилие они могут выдержать. При этом задние колеса разгружаются, и у них должно быть меньше тормозного усилия.

Пример 68 F Лучшая гоночная машина.

Гоночные автомобили всегда работают с максимально достижимым ускорением, чтобы завершить гонку за минимальное время. Обычно они разрабатываются с задним приводом и полным тормозом. Однако, если разумно построить полноприводный гоночный автомобиль, тогда распределитель силы будет следовать кривой, показанной на рисунке. 2.18, это то, что нужно для лучшей гонки.

Пример 69 F Эффект С расположение при торможении.

При торможении нагрузка передается с задних колес на передние. Чем выше С, тем больше нагрузка переносится. Итак, для улучшения торможения центр масс С должен быть как можно ниже и как можно глубже. Это возможно не для каждого транспортного средства, особенно для уличных автомобилей с передним приводом. Однако этот факт следует учитывать, когда автомобиль

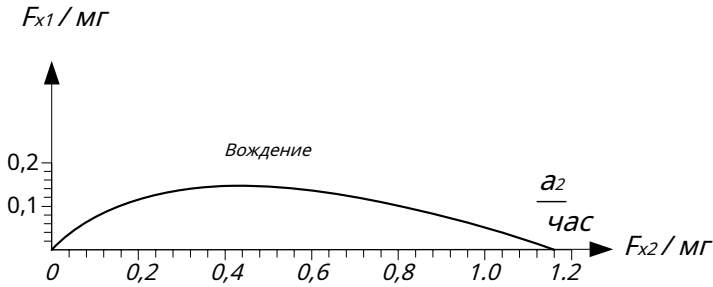


РИСУНОК 2.18. Оптимальное распределение тягового усилия между передней и задней частью колеса.

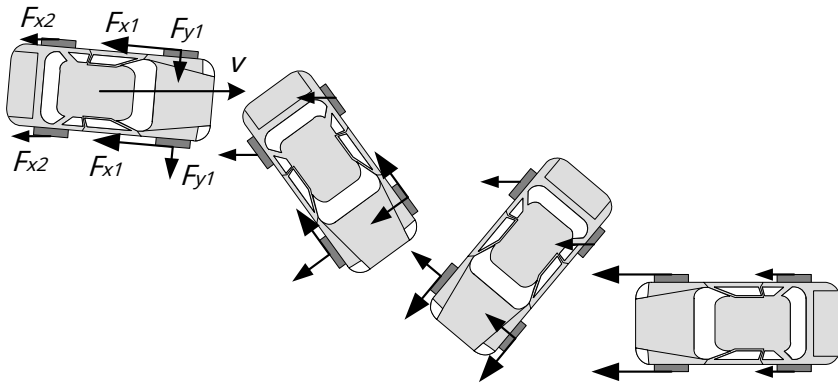


РИСУНОК 2.19. 180 градусов скользкое вращение автомобиля с блокировкой задних колес.

разработан для лучшего торможения.

Пример 70 F Блокировка передних и задних колес.

Оптимальное распределение тормозного усилия соответствует уравнению (2.239) для идеальный  $F_{икс1} / F_{икс2}$  соотношение. Однако, если распределение тормозного усилия неидеально, то сначала заблокируются передние или задние колеса. Блокировка задней части колеса делают автомобиль неустойчивым, и он теряет курсовую устойчивость. Когда задние колеса блокируются, они скользят по дороге и теряют способность выдерживать поперечную силу. Результирующая поперечная сила на отпечатке шины задних колес уменьшается до динамической силы трения в направлении, противоположном скольжению.

Небольшое боковое движение задних колес из-за любого возмущения вызывает рыскание из-за неуравновешенных поперечных сил на передние и задние колеса. Момент рыскания поворачивает автомобиль относительно оси до тех пор, пока задний конец не приведет к переднему концу, и автомобиль не повернется 180 град. Рисунок 2.19 иллюстрирует 180 град. скользкое вращение автомобиля с блокировкой задних колес.

Блокировка передних колес не вызывает неустойчивости в направлении движения, хотя автомобиль не будет управляемым, и водитель потеряет управление.

## 2,7 F Транспортные средства с более чем двумя осями

Если транспортное средство имеет более двух осей, например трехосный автомобиль, показанный на рис. 2.20, то транспортное средство будет статически неопределимым, и нормальные силы под шинами не могут быть определены уравнениями статического равновесия. Нам нужно учитывать прогиб подвесов, чтобы определить их приложенные силы.

В п нормальные силы  $F_{zя}$  под шины можно рассчитать с помощью следующий п алгебраические уравнения.

$$\sum_{я=1}^{Икс} F_{zя} - mg \cos \varphi = 0 \quad (2.241)$$

$$\sum_{я=1}^{Икс} F_{zя} Икс_{ся} + c(a + mg \sin \varphi) = 0 \quad (2.242)$$

$$\frac{F_{zя}}{k_{я}} - \frac{x_{я} x_1}{Икс_п - Икс_1} \mu \frac{F_{zп}}{k_{п}} - \frac{F_{z1}}{k_1} - \frac{F_{zп}}{k_1} \text{ знак равно } 0 \text{ для } я = 2, 3, \dots, п - 1 \quad (2.243)$$

куда  $Икс_{ся}$  а также  $F_{zя}$  продольные и нормальные силы под шинами прикреплен к номеру оси я, а также  $Икс_{ся}$  расстояние до центра масс С от номера оси я. Расстояние  $Икс_{ся}$  положительно для осей перед С, и отрицательный для осей в задней части С. Параметр  $k_{я}$  это вертикаль жесткость подвески на оси я.

Доказательство. Для многоосного транспортного средства следующие уравнения

$$\sum_{я=1}^{Икс} F_{икс \text{ знак равно } ма} \quad (2.244)$$

$$\sum_{я=1}^{Икс} F_{г \text{ знак равно } 0} \quad (2,245)$$

$$\sum_{я=1}^{Икс} M_{у \text{ знак равно } 0} \quad (2,246)$$

дают те же уравнения, что и (2.126) - (2.128). Однако, если общее количество осей п, тогда отдельные силы могут быть заменены суммирование.

$$\sum_{я=1}^{Икс} F_{икс_{ся}} - mg \sin \varphi = ма \quad (2,247)$$

$$\sum_{я=1}^{Икс} F_{zя} - mg \cos \varphi = 0 \quad (2,248)$$

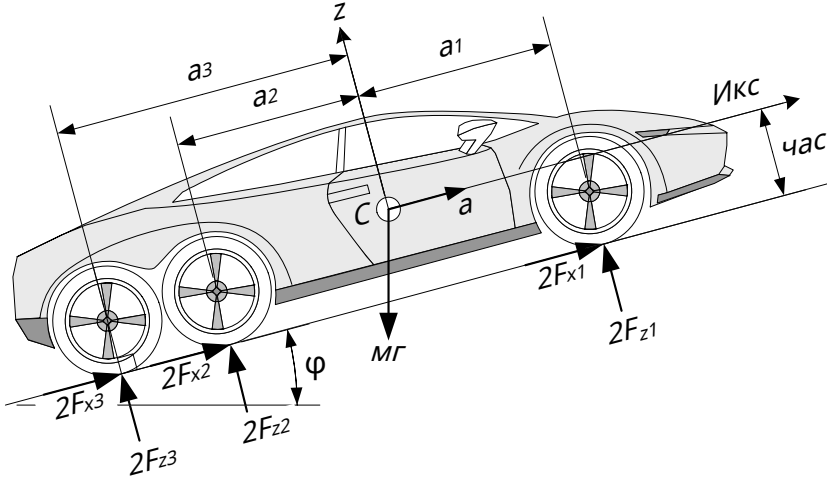


РИСУНОК 2.20. Трехосный автомобиль движется по наклонной дороге.

$$\sum_{j=1}^n F_{zj} \text{Икс} + 2 \text{час} \text{Икс} = 0 \quad (2.249)$$

Общая передовая сила  $F_{\text{Икс}}$  знак равно  $2 \sum_{j=1}^n F_{\text{Икс}j}$  можно исключить между Уравнения (2.247) и (2.249) составляют уравнение (2.242). Затем снова два основных уравнения (2.241) и (2.242) для  $n$  неизвестные  $F_{zj}$ ,  $j = 1, 2, \dots, n$ . Следовательно, нам нужно  $n - 2$  дополнительные уравнения для определения колесных нагрузок. Дополнительные уравнения возникают из-за совместимости прогиба подвесок.

Мы игнорируем соответствие шин и используем  $z$  для обозначения статической вертикали перемещение автомобиля на  $C$ . Тогда, если  $z_j$  прогиб подвески в центре оси  $j$ , а также  $k_j$  - вертикальная жесткость подвески на оси  $j$ , прогибы

$$z_j \text{ знак равно } \frac{F_j}{k_j} \quad (2.250)$$

Для ровной дороги и жесткого автомобиля мы должны иметь

$$\frac{z_j - z_1 \text{ знак равно } z_n - z_1}{\text{Икс}j - \text{Икс}1} \quad \text{для } j = 2, 3, \dots, n - 1 \quad (2.251)$$

которое после замены на (2.250) сводится к уравнению (2.243). В  $n - 2$  уравнения (2.251) вместе с двумя уравнениями (2.241) и (2.242) достаточно для расчета нормальной нагрузки под каждой шиной. Результирующая система уравнений линейна и может быть представлена в виде матрицы.

$$[A] [X] = [B] \quad (2.252)$$

куда

$$[X] = \begin{matrix} \text{£} \\ F_{z1} \quad F_{z2} \quad F_{z3} \quad \dots \quad F_{zn} \end{matrix}^T \quad (2.253)$$

$$[A] = \begin{matrix} \text{знак равно} \end{matrix} \left[ \begin{array}{cccccc} 2 & 2 & \dots & \dots & \dots & 2 \\ \frac{2I_{Kc1}}{I_{Kcп} - I_{Kc2}} & \frac{2I_{Kc2}}{I_{Kcп} - I_{Kc2}} & \dots & \dots & \dots & \frac{2I_{Kcп}}{I_{Kcп} - I_{Kc1}} \\ \frac{1}{k_{1л}} & \frac{1}{k_2} & \dots & \dots & \dots & \frac{x_2 \cdot x_1}{k_{пл}} \\ \dots & \dots & \dots & \dots & \dots & \dots \\ \frac{I_{Kcп} - I_{Kcя}}{k_{1л}} & \dots & \dots & \frac{1}{k_я} & \dots & \frac{x_я \cdot x_1}{k_{пл}} \\ \dots & \dots & \dots & \dots & \dots & \dots \\ \frac{I_{Kcп} - I_{Kcп-1}}{k_{1л}} & \dots & \dots & \dots & \frac{1}{k_{п-1}} & \frac{I_{Kcп-1} - I_{Kc1}}{k_{пл}} \end{array} \right] \quad (2.254)$$

$$L \quad \text{знак равно} \quad I_{Kc1} - I_{Kcп} \quad (2.255)$$

$$[B] = \begin{matrix} \text{£} \\ mg \cos \varphi \quad -h(a + mg \sin \varphi) \quad 0 \quad \dots \quad 0 \end{matrix}^T. \quad (2,256)$$

■

Пример 71 Реакции колес для трехосного автомобиля.

На рис. 2.20 изображен трехосный автомобиль, движущийся по наклонной дороге. Считать оси многоосного автомобиля начинаем с передней оси как ось 1, и двигаемся последовательно назад, как показано на рисунке.

Система уравнений для трехосного вагона, как показано на рис. 2.20, выглядит следующим образом:

$$2F_{I_{Kc1}} + 2F_{I_{Kc2}} + 2F_{I_{Kc3}} - mg \quad \text{знак равно} \quad ma \quad (2.257)$$

$$\sin \varphi \cdot 2F_{z1} + 2F_{z2} + 2F_{z3} - mg \cos \varphi \quad \text{знак равно} \quad 0 \quad (2.258)$$

$$2F_{x1} + 2F_{x2} + 2F_{x3} + 2h_z(F_{z1} + F_{z2} + F_{z3}) - (F_{I_{Kc1}} + F_{I_{Kc2}} + F_{I_{Kc3}}) \quad \text{знак равно} \quad 0 \quad (2.259)$$

$$\frac{1}{I_{Kc2} - I_{Kc1}} \frac{F_{z2}}{k_2} - \frac{F_{z1}}{k_1} - \frac{1}{I_{Kc3} - I_{Kc1}} \frac{F_{z3}}{k_3} - \frac{F_{z1}}{k_1} \quad \text{знак равно} \quad 0 \quad (2,260)$$

который можно упростить до

$$2F_{z1} + 2F_{z2} + 2F_{z3} - mg \cos \varphi \quad \text{знак равно} \quad 0 \quad (2.261)$$

$$2F_{z1} I_{Kc1} + 2F_{z2} I_{Kc2} + 2F_{z3} I_{Kc3} + x_m(a + g \sin \varphi) \quad \text{знак равно} \quad 0 \quad (2,262)$$

$$(I_{Kc2} k_2 k_3 - I_{Kc3} k_2 k_3) F_{z1} + (I_{Kc1} k_1 k_2 - I_{Kc2} k_1 k_2) F_{z3} - (I_{Kc1} k_1 k_3 - I_{Kc3} k_1 k_3) F_{z2} \quad \text{знак равно} \quad 0. \quad (2,263)$$

Система уравнений для колесных нагрузок является линейной и может быть преобразована в матричную форму

$$[A] [X] = [B] \quad (2.264)$$

куда

$$[A] \begin{bmatrix} \text{знак равно} & 2 & 2 & 2 \\ & 2Икс1 & 2Икс2 & 2Икс3 \end{bmatrix} \begin{bmatrix} k_2 k_3 (Икс2 - Икс3) & k_1 k_3 (Икс3 - Икс1) & k_1 k_2 (Икс1 - Икс2) \end{bmatrix} \quad (2,265)$$

$$[ИКС] \begin{bmatrix} \text{знак равно} & F_{z1} \\ & F_{z2} \\ & F_{z3} \end{bmatrix} \quad (2,266)$$

$$[B] \begin{bmatrix} \text{знак равно} & МГ \cos \varphi \\ & -хМ (a + r \sin \varphi) \\ & 0 \end{bmatrix} \quad (2,267)$$

Неизвестный вектор может быть найден с помощью обращения матрицы

$$[X] = [A]^{-1} [B]. \quad (2,268)$$

Решение уравнений:

$$\frac{1}{k_1 M} F_{z1} \quad \text{знак равно} \quad \frac{Z_1}{Z_0} \quad (2,269)$$

$$\frac{1}{k_2 M} F_{z2} \quad \text{знак равно} \quad \frac{Z_2}{Z_0} \quad (2,270)$$

$$\frac{1}{k_2 M} F_{z3} \quad \text{знак равно} \quad \frac{Z_3}{Z_0} \quad (2,271)$$

куда,

$$Z_0 = -4k_1 k_2 (Икс1 - Икс2)^2 - 4k_2 k_3 (Икс2 - Икс3)^2 - 4k_1 k_3 (Икс3 - Икс1)^2 \quad (2,272)$$

$$\begin{aligned} Z_1 & \text{ знак равно } (x_2 k_2 - Икс1 k_3 - Икс1 k_2 + Икс3 k_3) \text{ час } \sin \varphi \\ & + a (x_2 - Икс1 k_3 - Икс1 k_2 + Икс3 k_3) \text{ час } \zeta \\ & + g k_2 Икс2 - Икс1 k_2 Икс2 + k_3 Икс23 - Икс1 k_3 Икс3 \cos \varphi \end{aligned} \quad (2,273)$$

$$\begin{aligned} Z_2 & \text{ знак равно } (x_1 k_1 - Икс2 k_1 - Икс2 k_3 + Икс3 k_3) \text{ час } \sin \varphi \\ & + a (x_1 - Икс2 k_1 - Икс2 k_3 + Икс3 k_3) \text{ час } \zeta \\ & + g k_1 x_1 - Икс2 k_1 Икс1 + k_3 Икс23 - Икс2 k_3 Икс3 \cos \varphi \end{aligned} \quad (2,274)$$

$$\begin{aligned} Z_3 & \text{ знак равно } (x_1 k_1 + Икс2 k_2 - Икс3 k_1 - Икс3 k_2) \text{ час } \sin \varphi \\ & + a (x_1 + Икс2 k_2 - Икс3 k_1 - Икс3 k_2) \text{ час } \zeta \\ & + g k_1 x_1 - Икс2 k_1 Икс1 + k_3 Икс23 - Икс3 k_2 Икс2 \cos \varphi \end{aligned} \quad (2,275)$$

$$Икс1 \text{ знак равно } a_1 \quad (2,276)$$

$$Икс2 \text{ знак равно } a_2 \quad (2,277)$$

$$Икс3 \text{ знак равно } a_3. \quad (2,278)$$

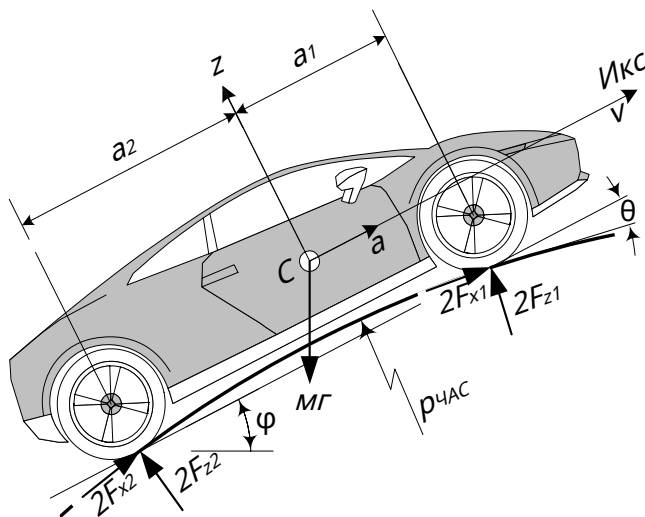


РИСУНОК 2.21. Транспортное средство с гребнем в точке, где холм имеет радиус кривизны.  $p_{\text{чac}}$ .

## 2,8 F Транспортные средства на гребне и падении

Когда дорога имеет кривизну наружу или внутрь, мы называем дорогу гребнем или провалом. Кривизна может уменьшить или увеличить нормальные силы под колесами.

### 2.8.1 F Транспортные средства на гербе

Движение по выпуклой кривой холма называется гребень. Нормальная сила под колесами движущегося по гребню транспортного средства меньше силы на ровной наклонной дороге с таким же уклоном из-за развитой центробежной силы.

$m v^2 / p_{\text{чac}}$  в -z-направление.

На рис. 2.21 показан движущийся по гребню автомобиль в точке холма с радиус кривизны  $p_{\text{чac}}$ . Тяговое усилие и нормальные силы под его шинами равны примерно равно

$$F_{\text{ИКС1}} + F_{\text{ИКС2}} \approx \frac{1}{2} m (a + g \sin \varphi) \quad (2,279)$$

$$F_{z1} \approx \frac{1}{2} m g \frac{a_2}{l} \cos \varphi + \frac{m v^2}{p_{\text{чac}}} \sin \varphi$$

$$- \frac{1}{2} m a - \frac{m v^2}{l} \frac{1}{2} \frac{v^2}{p_{\text{чac}}} \frac{a_2}{l} \quad (2.280)$$



$$F_{Z2} \approx \frac{1}{2} m g \frac{a_2}{l} \cos \varphi - \frac{m v^2}{l} \sin \varphi + \frac{1}{2} m a \frac{v^2}{r \cos \theta} \frac{1}{2} \frac{v^2}{r \cos \theta} \frac{a_1}{l} \quad (2,281)$$

$$l \text{ знак равно } a_1 + a_2. \quad (2,282)$$

Доказательство. Для гребного вагона, показанного на рисунке 2.21, нормальное и тангенциальное направления эквивалентны:  $z$  а также Икс направления соответственно. Следовательно управляющее уравнение движения для автомобиля

$$\text{Икс} \quad (2,283)$$

$$- \frac{\text{Икс}}{\text{Икс}} \frac{v^2}{r \cos \theta} \quad (2,284)$$

$$\text{Му знак равно } 0. \quad (2,285)$$

Расширение этих уравнений дает следующие уравнения:

$$2F_{\text{ИКС1}} \cos \theta + 2F_{\text{ИКС2}} \cos \theta - m g \sin \varphi = m a \quad (2,286)$$

$$-2F_{\text{ИКС1}} \sin \theta - 2F_{\text{ИКС2}} \sin \theta + m g \cos \varphi = m \frac{v^2}{r \cos \theta} \quad (2,287)$$

$$2F_{\text{ИКС1}} \cos \theta - 2F_{\text{ИКС2}} \cos \theta + 2(F_{\text{ИКС1}} + F_{\text{ИКС2}}) \frac{v^2}{r \cos \theta} \sin \theta + 2F_{\text{ИКС1}} \sin \theta - 2F_{\text{ИКС2}} \sin \theta - 2(F_{\text{ИКС1}} + F_{\text{ИКС2}}) \sin \theta = 0. \quad (2,288)$$

Мы можем исключить  $F_{\text{ИКС1}}$  и  $F_{\text{ИКС2}}$  между первым и третьим уравнениями, и решить для общей силы тяги  $F_{\text{ИКС}}$  и нормальные силы колеса  $F_1$ ,  $F_{Z2}$ .

$$F_{\text{ИКС1}} + F_{\text{ИКС2}} \text{ знак равно } \frac{m a + m g \sin \varphi}{2 \cos \theta} \quad (2,289)$$

$$F_{Z1} \text{ знак равно } \frac{1}{2} m g \frac{a_2}{l \cos \theta} \cos \varphi + \frac{m v^2}{l \cos \theta} \frac{1 - \sin \theta}{\cos \theta} \sin \varphi - \frac{1}{2} m a \frac{v^2}{l \cos \theta} \frac{1 - \sin \theta}{\cos \theta} - \frac{1}{2} \frac{v^2}{r \cos \theta} \frac{a_2}{l \cos \theta} \quad (2,290)$$

$$F_{Z2} \text{ знак равно } \frac{1}{2} m g \frac{a_1}{l \cos \theta} \cos \varphi - \frac{m v^2}{l \cos \theta} \frac{1 - \sin \theta}{\cos \theta} \sin \varphi + \frac{1}{2} m a \frac{v^2}{l \cos \theta} \frac{1 - \sin \theta}{\cos \theta} - \frac{1}{2} \frac{v^2}{r \cos \theta} \frac{a_1}{l \cos \theta} \quad (2,291)$$

Если колесная база автомобиля намного меньше радиуса кривизны,  $l \ll r \cos \theta$ , то угол наклона  $\theta$  слишком мал, и мы можем использовать следующие тригонометрические приближения.

$$\cos \theta \approx \cos 2\theta \approx 1 \quad (2,292)$$

$$\sin \theta \approx \sin 2\theta \approx 0 \quad (2,293)$$

Подстановка этих приближений в уравнения (2.289) - (2.291) дает следующие приближительные результаты:

$$F_{\text{Икс1}} + F_{\text{Икс2}} \approx \frac{1}{2} m (a + g \sin \varphi) \quad (2,294)$$

$$F_{Z1} \approx \frac{1}{2} m g \frac{a_2}{l} \cos \varphi + \frac{1}{2} m \frac{v^2}{r_{\text{ЧАС}} l} \sin \varphi$$

$$F_{Z2} \approx \frac{1}{2} m g \frac{a_1}{l} \cos \varphi - \frac{1}{2} m \frac{v^2}{r_{\text{ЧАС}} l} \sin \varphi$$

■

Пример 72 F Колесные нагрузки гребного автомобиля.

Рассмотрим автомобиль со следующими характеристиками:

$$\begin{aligned} l &= 2272 \text{ мм} \\ ш &= 1457 \text{ мм} \\ m &= 1500 \text{ кг} \\ \text{час} &= 230 \text{ мм} \\ a_1 &= a_2 \\ v &= 15 \text{ м / с} \\ a &= 1 \text{ м / с}^2 \end{aligned} \quad (2,297)$$

который пересекает холм в том месте, где дорога

$$\begin{aligned} r_{\text{ЧАС}} &= 40 \text{ м} \\ \varphi &= 30 \text{ град.} \\ \theta &= 2,5 \text{ град.} \end{aligned} \quad (2,298)$$

Информация о силе на автомобиле:

$$\begin{aligned} F_{\text{Икс1}} + F_{\text{Икс2}} &= 4432.97 \text{ Н} \\ F_{Z1} &= 666.33 \text{ Н} \\ F_{Z2} &= 1488.75 \text{ Н} \\ m g &= 14715 \text{ Н} \\ F_{Z1} + F_{Z2} &= 2155.08 \text{ Н} \\ m \frac{v^2}{r_{\text{ЧАС}}} &= 8437.5 \text{ Н} \end{aligned} \quad (2,299)$$

Если упростить результаты, полагая малым  $\theta$ , приближенные значения сил

$$\begin{aligned}
 F_{\text{ИКС1}} + F_{\text{ИКС2}} & \approx 4428.75 \text{ N} \\
 F_{Z1} & \approx 628.18 \text{ N} \\
 F_{Z2} & \approx 1524.85 \text{ N} \\
 m g & \approx 14715 \text{ N} \\
 F_{Z1} + F_{Z2} & \approx 2153.03 \text{ N} \\
 m \frac{v_2^2}{r_{\text{ЧАС}}} & \approx 8437.5 \text{ N}.
 \end{aligned} \quad (2.300)$$

### Пример 73 F Потеря контакта с дорогой на гребне.

Когда автомобиль едет слишком быстро, он может потерять контакт с дорогой. Такая машина называется аэтинь машина. Условие иметь летающую машину  $F_z$  знак равно 0 а также  $F_z$  знак равно 0<sub>2</sub>

Предполагая симметричный автомобиль  $a_1$  знак равно  $a_2$  знак равно  $l/2$  без ускорения и используя приближенные уравнения (2.280) и (2.281)

$$\frac{1}{2} m g \frac{a_2}{l} \cos \varphi + \frac{m v^2}{2 r_{\text{ЧАС}} l} - m \frac{v^2 a_2}{2 r_{\text{ЧАС}} l} = 0 \quad (2.301)$$

$$\frac{1}{2} m g \frac{a_1}{l} \cos \varphi - \frac{m v^2}{2 r_{\text{ЧАС}} l} - m \frac{v^2 a_1}{2 r_{\text{ЧАС}} l} = 0 \quad (2.302)$$

мы можем найти критическую минимальную скорость  $v_c$  чтобы начать летать. Есть две критические скорости  $v_{c1}$  а также  $v_{c2}$  за потерю контакта передних и задних колес соответственно.

$$v_{c1} \text{ знак равно } \sqrt{2 g r_{\text{ЧАС}} \frac{a_2}{l} \sin \varphi + \frac{1}{2} \cos \varphi} \quad (2.303)$$

$$v_{c2} \text{ знак равно } \sqrt{-2 g r_{\text{ЧАС}} \frac{a_1}{l} \sin \varphi - \frac{1}{2} \cos \varphi} \quad (2.304)$$

Для любой машины критические скорости  $v_{c1}$  а также  $v_{c2}$  являются функциями холма радиус кривизны  $r_{\text{ЧАС}}$  и угловое положение на холме, обозначенное  $\varphi$ . Угол  $\varphi$  не может быть вне углов наклона, определяемых уравнением (2.141).

$$-\frac{a_1}{r_{\text{ЧАС}}} \leq \tan \varphi \leq \frac{a_2}{r_{\text{ЧАС}}} \quad (2.305)$$

На рис. 2.22 показан автомобиль, преодолевший круговой холм, а на рис. 2.23 показаны критические скорости  $v_c$  а также  $v_c$  под другим углом  $\varphi$  для  $-1,371$  рад  $\leq$

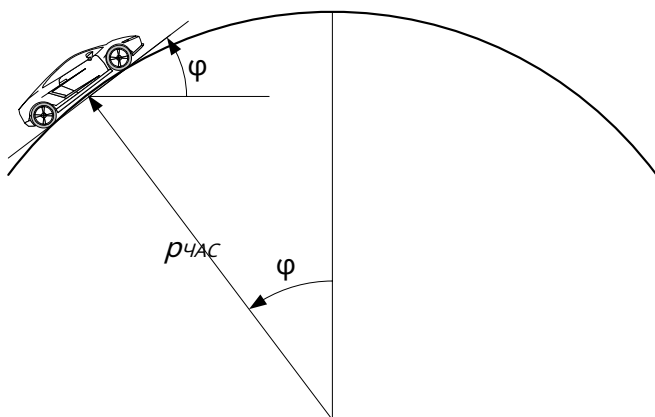


РИСУНОК 2.22. Автомобиль взбирается на круговой холм.

$\varphi \leq 1,371$  рад. Технические характеристики машины и горки:

$$\begin{aligned} l &= 2272 \text{ мм} \\ \text{час} &= 230 \text{ мм} \\ a_1 &= a_2 \\ a &= 0 \text{ м / с}^2 \\ r_{\text{час}} &= 100 \text{ м.} \end{aligned}$$

На максимальном подъеме  $\varphi = 1,371$  рад  $\approx 78,5$  град, передние колеса могут отрываться от земли с нулевой скоростью, в то время как задние колеса находятся на земле. Когда машина движется по холму и достигает максимального спуска  $\varphi = -1,371$  рад  $\approx -78,5$  град, задние колеса могут отрываться от земли с нулевой скоростью, в то время как передние колеса находятся на земле. Пока автомобиль движется в гору, передние колеса могут отрываться от земли с меньшей скоростью, а при спуске задние колеса отрываются от земли с меньшей скоростью. Следовательно, на каждом угол наклона  $\varphi$  нижняя кривая определяет критическую скорость  $v_c$ .

Чтобы получить общее представление о критической скорости, мы можем построить нижнюю ценности  $v_c$  как функция от  $\varphi$ , используя  $r_{\text{час}}$  или  $l$  как параметр. Фигура 2.24 показан эффект радиуса кривизны холма.  $r_{\text{час}}$  на критической скорости  $v_c$  для машины с  $l = 0,10123$  мм / мм а на рис. 2.25 показано влияние высокого фактора автомобиля.  $l$  на критической скорости  $v_c$  для круглого холма с

$r_{\text{час}} \text{ знак равно } 100 \text{ м.}$

## 2.8.2 Транспортные средства на провале

Движение по вогнутой кривой холма называется окувание. Нормальная сила под колесами падающего транспортного средства больше, чем сила на ровной наклонной дороге с таким же уклоном из-за развитой центробежной силы.

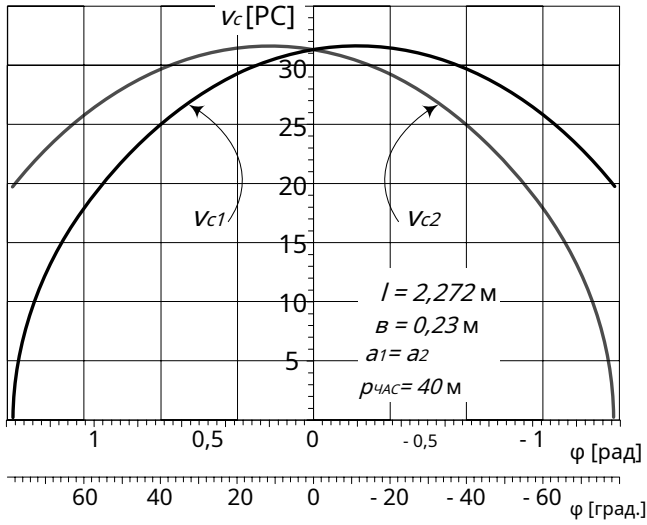


РИСУНОК 2.23. Критические скорости  $v_{c1}$  а также  $v_{c2}$  под разным углом  $\phi$  для конкретного автомобиля и холма.

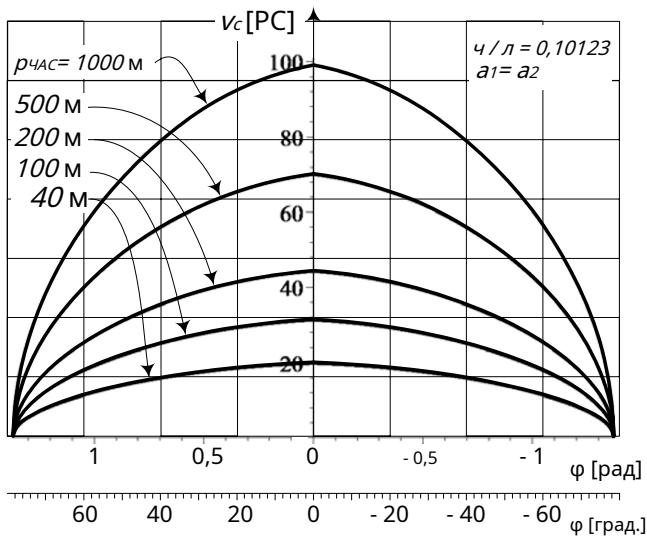


РИСУНОК 2.24. Влияние радиуса кривизны холма  $\rho_{\text{чac}}$  на критической скорости  $v_c$  для автомобиля.

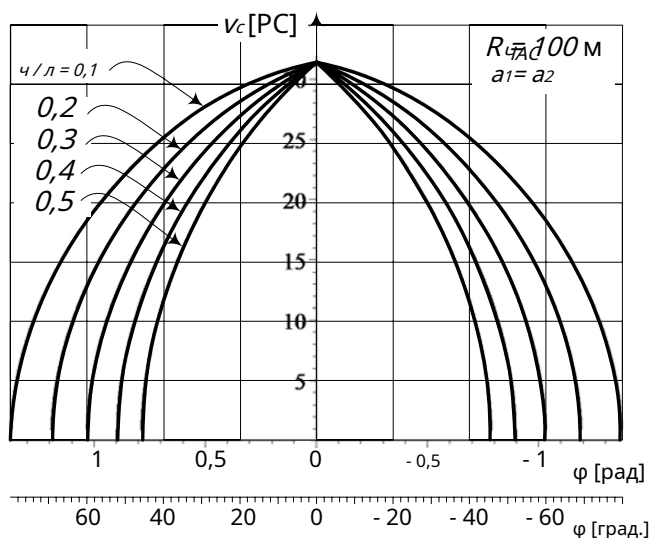


РИСУНОК 2.25. Влияние фактора высоты автомобиля  $h/l$  на критической скорости  $v_c$  для круговой горки.

сила  $mv^2/R_{\text{час}}$  в  $z$ -направление.

На рис. 2.26 показан автомобиль, падающий вглубь, в точке, где холм имеет наклон. радиус кривизны  $r_{\text{час}}$ . Тяговое усилие и нормальные силы под шинами автомобиль примерно равен

$$F_{\text{икс1}} + F_{\text{икс2}} \approx \frac{1}{2} m (a + g \sin \varphi) \cdot \mu \quad (2.306)$$

$$F_{Z1} \approx \frac{1}{2} m g \frac{a_2}{l} \cos \varphi + \frac{m v^2}{l} \sin \varphi - \frac{1}{2} m a + \frac{m v^2}{l} \frac{1}{2} \frac{v^2}{r_{\text{час}} l} \frac{a_2}{l} \quad (2.307)$$

$$F_{Z2} \approx \frac{1}{2} m g \frac{a_1}{l} \cos \varphi - \frac{m v^2}{l} \sin \varphi + \frac{1}{2} m a + \frac{m v^2}{l} \frac{1}{2} \frac{v^2}{r_{\text{час}} l} \frac{a_1}{l} \quad (2.308)$$

$$l \text{ знак равен } a_1 + a_2. \quad (2.309)$$

Доказательство. Чтобы разработать уравнения тягового усилия и нормальных сил под шинами падающего автомобиля, мы следуем той же процедуре, что и гребенчатый автомобиль. Нормальное и тангенциальное направления падающей машины, показанные на рисунке 2.21, эквивалентны направлению движения  $z$  а также  $икс$  направления соответственно. Следовательно, руководящие

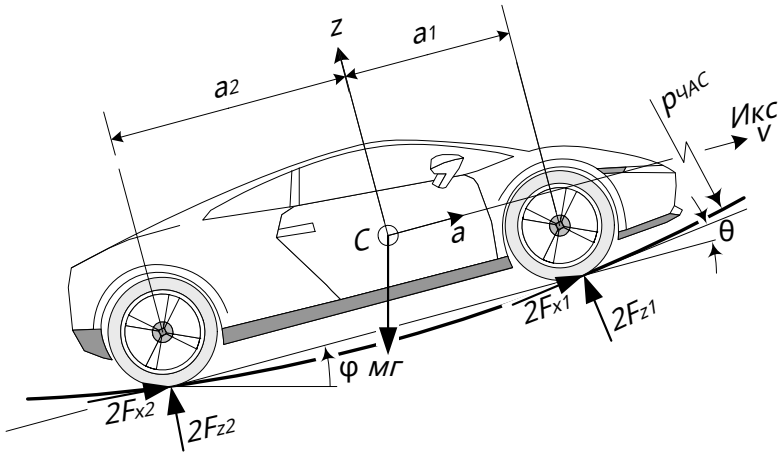


РИСУНОК 2.26. Падающее транспортное средство в точке, где холм имеет радиус кривизны.  $r_{\text{час}}$ .

уравнения движения автомобиля

$$\begin{array}{l} \text{Икс} \\ \text{F}_{\text{икс}} \text{ знак равно } m a \end{array} \quad (2.310)$$

$$\begin{array}{l} \text{Икс} \\ \text{F}_z \text{ знак равно } m \frac{v^2}{r_{\text{час}}} \end{array} \quad (2.311)$$

$$\begin{array}{l} \text{Икс} \\ \text{M}_y \text{ знак равно } 0. \end{array} \quad (2.312)$$

Расширение этих уравнений дает следующие уравнения:

$$2F_{\text{икс}1} \cos \theta + 2F_{\text{икс}2} \cos \theta - mg \sin \varphi = ma \quad (2.313)$$

$$-2F_{z1} \cos \theta - 2F_{z2} \cos \theta + mg \cos \varphi = m \frac{v^2}{r_{\text{час}}} \quad (2.314)$$

$$\begin{aligned} & 2F_{z1}a_1 \cos \theta - 2F_{z2}a_2 \cos \theta + 2(F_{\text{икс}1} + F_{\text{икс}2}) r_{\text{час}} \cos \theta \\ & + 2F_{z1}a_1 \sin \theta - 2F_{z2}a_2 \sin \theta - 2(F_{\text{икс}1} + F_{\text{икс}2}) r_{\text{час}} \sin \theta = 0. \end{aligned} \quad (2.315)$$

Суммарное тяговое усилие ( $F_{\text{икс}1} + F_{\text{икс}2}$ ) можно исключить между первым и третьим уравнениями. Тогда полученные уравнения дают следующее силы для полного тягового усилия  $F_{\text{икс}1} + F_{\text{икс}2}$  и нормальные силы колеса  $F_{z1}$ ,  $F_{z2}$ :

$$\begin{array}{l} F_{\text{икс}1} + F_{\text{икс}2} \text{ знак равно} \\ \frac{ma + mg \sin \varphi}{2 \cos \theta} \end{array} \quad (2.316)$$

$$F_{Z1} = \frac{1}{2} m g \cdot \mu \frac{a_2}{l \cos \theta} \cos \varphi + \frac{\chi (1 - \operatorname{gr} \operatorname{ex} 2\theta)}{l \cos \theta \cos 2\theta} \sin \varphi - \frac{1}{2} m a \frac{\chi (1 - \operatorname{gr} \operatorname{ex} 2\theta)}{l \cos \theta \cos 2\theta} + \frac{1}{2} m \frac{v^2}{r_{\text{час}} l \cos \theta} \frac{a_2}{\cos \theta} \quad (2.317)$$

$$F_{Z2} = \frac{1}{2} m g \cdot \mu \frac{a_1}{l \cos \theta} \cos \varphi - \frac{\chi (1 - \operatorname{gr} \operatorname{ex} 2\theta)}{l \cos \theta \cos 2\theta} \sin \varphi + \frac{1}{2} m a \frac{\chi (1 - \operatorname{gr} \operatorname{ex} 2\theta)}{l \cos \theta \cos 2\theta} + \frac{1}{2} m \frac{v^2}{r_{\text{час}} l \cos \theta \cos \theta} \frac{a_1}{\cos \theta} \quad (2.318)$$

Предполагая, что  $\theta \approx 1$ , эти силы можно приблизить к

$$F_{\text{ИКС1}} + F_{\text{ИКС2}} \approx \frac{1}{2} m (a + g \sin \varphi) \quad (2.319)$$

$$F_{Z1} \approx \frac{1}{2} m g \cdot \mu \frac{a_2}{l} \cos \varphi + \frac{\chi a \sin \varphi}{l} - \frac{1}{2} m a + \frac{\chi a \sin \varphi}{l} + \frac{1}{2} m \frac{v^2}{r_{\text{час}} l} \frac{a_2}{\cos \theta} \quad (2.320)$$

$$F_{Z2} \approx \frac{1}{2} m g \cdot \mu \frac{a_1}{l} \cos \varphi - \frac{\chi a \sin \varphi}{l} + \frac{1}{2} m a - \frac{\chi a \sin \varphi}{l} + \frac{1}{2} m \frac{v^2}{r_{\text{час}} l} \frac{a_1}{\cos \theta} \quad (2.321)$$

■

Пример 74 F Колесные нагрузки погружающегося автомобиля.

Рассмотрим автомобиль со следующими характеристиками:

$$\begin{aligned} l & \text{ знак равно } 2272 \text{ мм} \\ \text{ш} & \text{ знак равно } 1457 \text{ мм} \\ m & \text{ знак равно } 1500 \text{ кг} \\ \text{час} & \text{ знак равно } 230 \text{ мм} \\ a_1 & \text{ знак равно } a_2 \\ v & \text{ знак равно } 15 \text{ м / с} \\ a & \text{ знак равно } 1 \text{ м / с}^2 \end{aligned} \quad (2.322)$$

это спускается на холм в точке, где дорога

$$\begin{aligned} r_{\text{час}} & \text{ знак равно } 40 \text{ м} \\ \varphi & = 30 \text{ град.} \\ \theta & = 2,5 \text{ град.} \end{aligned} \quad (2.323)$$



Информация о силе автомобиля:

$$\begin{aligned}
 F_{\text{ИКС1}} + F_{\text{ИКС2}} & \text{ знак равно } 4432.97\text{N} \\
 F_{Z1} & \text{ знак равно } 4889,1 \text{ с.ш.} \\
 F_{Z2} & \text{ знак равно } 5711.52\text{N} \\
 \text{мг} & \text{ знак равно } 14715\text{N} \\
 F_{Z1} + F_{Z2} & \text{ знак равно } 10600.62\text{N} \\
 m \frac{v^2}{r \text{ час}} & \text{ знак равно } 8437.5\text{N}
 \end{aligned} \quad (2.324)$$

Если мы проигнорируем влияние  $\theta$ , приняв  $\theta \approx 1$ , тогда приблизительный стоимостный сил

$$\begin{aligned}
 F_{\text{ИКС1}} + F_{\text{ИКС2}} & \text{ знак равно } 4428.75\text{N} \\
 F_{Z1} & \approx 4846.93\text{N} \\
 F_{Z2} & \approx 1524.85\text{N} \\
 \text{мг} & \text{ знак равно } 5743,6 \text{ с.ш.} \\
 F_{Z1} + F_{Z2} & \approx 10590.53\text{N} \\
 m \frac{v^2}{r \text{ час}} & \text{ знак равно } 8437.5\text{N}.
 \end{aligned} \quad (2.325)$$

## 2,9 Резюме

Для прямого движения симметричного жесткого транспортного средства мы можем предположить, что силы на левом колесе равны силам на правом колесе, и упростить расчет усилия на шину.

Когда автомобиль ускоряется на наклонной дороге под углом  $\varphi$ , нормальная силы под передними и задними колесами,  $F_{Z1}$ ,  $F_{Z2}$ , находятся:

$$F_{Z1} = mg \frac{1}{2} \left( \mu \frac{a_2}{l} \cos \varphi - \frac{v^2}{r \text{ час}} \right) - m a \frac{1}{2} \frac{\text{час}}{l} \quad (2.326)$$

$$F_{Z2} \text{ знак равно } mg \frac{1}{2} \left( \mu \frac{a_1}{l} \cos \varphi + \frac{v^2}{r \text{ час}} \right) + m a \frac{1}{2} \frac{\text{час}}{l} \quad (2.327)$$

$$l = a_1 + a_2 \quad (2.328)$$

куда,  $mg \frac{1}{2} \left( \mu \frac{a_1}{l} \cos \varphi \pm \frac{v^2}{r \text{ час}} \right) \pm mg \frac{1}{2} \frac{\text{час}}{l}$  статическая часть и  $\pm mg \frac{1}{2} \frac{\text{час}}{l}$  динамическая часть, потому что это зависит от ускорения  $a$ .

## 2.10 Ключевые символы

$a \equiv \ddot{x}$	ускорение
авперед	ускорение переднего привода;
азадний ход	ускорение заднего привода;
$a_1$	расстояние первой оси от центра масс
$a_2$	второй оси от центра масс номера оси
$a_y$	я от центра масс максимальное
$a_m$	ускорение
$a, b$	аргументы в пользу atan2 (a, b)
A, B, V	постоянные параметры
$b_1$	расстояние левых колес от центра масс; расстояние между
$b_1$	точкой шарнира от задней оси; расстояние правых колес
$b_2$	от центра масс; расстояние точки шарнира от центра масс
$b_2$	прицепа; расстояние оси прицепа от центра масс прицепа;
$b_3$	центр масс транспортного средства.
C	
$C_T$	центр масс
F	прицепа
Фикс	тяговое усилие или тормозное усилие под действием тяги
Фикс1	колеса или тормозное усилие под действием тяги передних
Фикс2	колес или тормозное усилие под задними колесами
ФиксТ	горизонтальное усилие на шарнире
$F_z$	нормальная сила под колесом нормальная
$F_{z1}$	сила под передними колесами нормальная
$F_{z2}$	сила под задними колесами нормальная
$F_{z3}$	сила под колесами прицепа нормальная
$F_{zT}$	сила на шарнире
грамм, грамм	высота ускорения
час	свободного падения C
ЧАС	рост
я	момент инерции массы
$k_y$	вертикальная жесткость подвески по номеру оси я
л	колесная база
м	масса автомобиля
$m_T$	масса прицепа
M	момент
р	радиус шины
рж	радиус передней шины
рр	радиус заднего колеса
рчас	радиус кривизны
T	время
$v \equiv \dot{x}, v$	скорость
$v_c$	критическая скорость

ш	отслеживать
zя	прогиб пазухи номер я
x, y, г	Оси координат транспортного средства
x, y, z	глобальные координатные оси
θ	уклон дороги
φ	угол дороги с горизонтом
φм	максимальный угол уклона
μ	коэффициент трения
Подписки	
дин	динамичный
ж	передний
вперед	передний привод
М	максимум
р	задний
задний ход	задний привод
ул	статика

## Упражнения

## 1. Осевая нагрузка.

Рассмотрим автомобиль со следующими характеристиками, припаркованный на ровной дороге. Найдите нагрузку на переднюю и заднюю оси.

**M**      знак равно      1765 кг

**L**      знак равно      2,84 млн

**a1**      знак равно      1,22 м

**a2**      знак равно      1,62 млн

## 2. Осевая нагрузка.

Рассмотрим автомобиль со следующей спецификацией и найдите оси нагрузку.

**M**      знак равно      1245 кг

**a1**      знак равно      1100 мм

**a2**      знак равно      1323 мм

## 3. Отношение расстояния до центра масс.

Пежо 907 Концепция™ примерно имеет следующую спецификацию.

**M**      знак равно      1400 кг

**L**      знак равно      97,5 дюйма

Предполагать  $a_1/a_2 \approx 1.131$  и определить нагрузку на оси.

4. Передаточная нагрузка на ось. Джип Коммандер ХК™ примерно имеет следующую спецификацию -

**MГ**      знак равно      5091 фунтов

**L**      знак равно      109,5 дюймов

Предполагать  $F_z/L \approx 1,22$  и определить нагрузку на оси.

## 5. Соотношение нагрузки на ось и расстояния между центрами масс. Колесная

база 1981 г. Спортивный автомобиль DeLorean™ является

$L = 94,89$  дюйма

Найдите нагрузку на оси, если предположим

$a_1/a_2 \approx 0,831$

$MГ = 3000$  фунтов.

6. Высота центра масс. Спортивный автомобиль McLaren SLR 722тм имеет следующие характеристики.

передняя шина 255/35ZR19  
задняя шина 295/30ZR19

$m = 1649$  кг  
 $l = 2700$  мм

Когда передний мост поднят  $H = 540$ мм, Предположим, что

$a_1$  знак равно  $a_2$

$F_{z2}$  знак равно 0,68мг.

Какая высота час центра масс?

7. Припаркованная машина на дороге в гору. Технические

характеристики Lamborghini Gallardотм находятся

$M$  знак равно 1430 кг  
 $l$  знак равно 2560мм.

Предполагать

$a_1$  знак равно  $a_2$   
час знак равно 520 мм

и определить силы  $F_z$ ,  $F_z$ , а также  $F$  если эта машина припаркована на ан подъем с  $\varphi = 30$  град. и ручной тормоз связан с задними колесами.

Каким будет максимальный уклон дороги  $\varphi_m$ , что машину можно припарковать, если  $\mu_{икс}$  знак равно  $\frac{1}{2}$ .

8. Припаркован на дороге в гору. Роллс-Ройс Фантомтм имеет

следующие характеристики

$M$  знак равно 2495 кг  
 $l$  знак равно 3570 мм  
 $F_{z2}$  знак равно 0,499мг.

Предположим, автомобиль припаркован на дороге, ведущей в гору, и

$a_1$  знак равно  $a_2$   
час знак равно 670 мм  
 $\varphi$  знак равно 30 град.

Определите силы под колесами, если автомобиль

- (а) торможение передних колес
- (б) торможение задних колес
- (с) торможение четырех колес.

### 9. Припаркованная машина на спуске.

Решите упражнение 7, если машина припаркована на спуске.

### 10. Максимальное ускорение. Honda CR-V™ это среднеразмерный внедорожник со следующими характеристиками:

м знак равно 1550 кг  
л знак равно 2620 мм

Предполагать

а<sub>1</sub> знак равно а<sub>2</sub>  
час знак равно 720 мм  
микс знак равно 0,8

и определить максимальное ускорение автомобиля, если

- (а) машина заднеприводная
- (б) автомобиль переднеприводный
- (в) автомобиль полноприводный.

### 11. Минимальное время для 0 - 100 км / ч.

RoadRazer™ легкий заднеприводный спортивный автомобиль с

м знак равно 300 кг  
л знак равно 2286 мм  
час знак равно 260 мм.

Предполагать а<sub>1</sub> знак равно а<sub>2</sub>. Если машина может набрать скорость 0-100 км / ч в t = 3,2 с, какой будет минимальный коэффициент трения?

### 12. Осовая нагрузка полноприводного автомобиля. Asura

Couragetm это полноприводная машина с

m = 2058.9 кг  
l = 2750,8 мм.

Предполагать а<sub>1</sub> знак равно а<sub>2</sub> а также h = 760 мм. Определите нагрузку на оси, если автомобиль разгоняется на a = 1,7 м / с<sup>2</sup>.

13. Автомобиль с прицепом. Фольксваген Туарегтм это полноприводная машина с

$$m = 2268 \text{ кг}$$

$$l = 2855 \text{ мм.}$$

Предполагать  $a_1$  знак равно  $a_2$  и машина тянет прицеп с

$$M_t \text{ знак равно } 600 \text{ кг}$$

$$b_1 \text{ знак равно } 855 \text{ мм}$$

$$b_2 \text{ знак равно } 1350 \text{ мм}$$

$$b_3 \text{ знак равно } 150 \text{ мм}$$

$$\text{час} \text{ знак равно } 1 \text{ час}$$

Если автомобиль ускоряется на ровной дороге с ускорением  $a = 2 \text{ м / с}^2$ , какие бы силы были на петле.

14. Припаркованная машина на обочине дороги.

Кадиллак Эскалейдтм это внедорожник с

$$M \text{ знак равно } 2569,6 \text{ кг}$$

$$L \text{ знак равно } 2946,4 \text{ мм}$$

$$Шж \text{ знак равно } 1732,3 \text{ мм}$$

$$Шр \text{ знак равно } 1701,8 \text{ мм.}$$

Предполагать  $b_1$  знак равно  $b_2$ ,  $h = 940 \text{ мм}$ , и использовать среднюю колею для определения нагрузки на колеса, когда автомобиль припаркован на дороге с наклоном, с  $\varphi = 12$  град.

15. F Припаркованный автомобиль на обочине дороги с  $Шж \text{ б } = Шр$ .

Определите нагрузку на колеса припаркованного автомобиля на дороге с наклоном, если передняя и задняя колеи автомобиля разные.

16. Оптимальное тяговое усилие. Митсубиси Аутлендертм это полноприводный внедорожник со

следующими характеристиками:

мычание спецификаций.

$$M \text{ знак равно } 1599,8 \text{ кг}$$

$$L \text{ знак равно } 2669,6 \text{ мм}$$

$$Ш \text{ знак равно } 1539,3 \text{ мм.}$$

Предполагать

$$a_1 \text{ знак равно } a_2$$

$$\text{час} \text{ знак равно } 760 \text{ мм}$$

$$\mu_{\text{икс}} \text{ знак равно } 0,75$$

и найти оптимальное соотношение тягового усилия  $F_{ик1}/F_{ик2}$  для достижения максимального ускорения.

17. F Трехосный автомобиль. Ситроен Круиз Кроссертм трехосный внедорожный пикап. Предполагать

$m$	знак равно	1800 кг
$a_1$	знак равно	1100 мм
$a_2$	знак равно	1240 мм
$a_3$	знак равно	1500 мм
$k_1$	знак равно	12800 Н / м
$k_2$	знак равно	14000 Н / м
$k_3$	знак равно	14000 Н / м

и найдите нагрузку на оси на ровной дороге, когда автомобиль движется без ускорения.



Vehicle Dynamics: Theory and Application

Jazar, R.N.

2008, XX, 1015 p. 585 illus., Hardcover

ISBN: 978-0-387-74243-4